

# Blendgutachten Solarpark Valluhn-Gallin

Analyse der potentiellen Blendwirkung einer geplanten PV Anlage in der Nähe von Valluhn in Mecklenburg-Vorpommern

#### SolPEG GmbH

Solar Power Expert Group Normannenweg 17-21 D-20537 Hamburg

- **©** +49 40 79 69 59 36
- **a** +49 40 79 69 59 38
- @info@solpeg.com
- www.solpeg.com

# Inhalt

1	Au	ftrag3	•
	1.1	Beauftragung3	;
	1.2	Hintergrund und Auftragsumfang3	;
2	Sys	stembeschreibung4	ŀ
	2.1	Standort Übersicht	ŀ
	2.2	Umliegende Gebäude7	7
3	Er	mittlung der potentiellen Blendwirkung	3
	3.1	Rechtliche Hinweise	3
	3.2	Blendwirkung von PV Modulen	3
	3.3	Berechnung der Blendwirkung10	)
	3.4	Technische Parameter der PV Anlage	Ĺ
	3.5	Standorte für die Analyse	2
	3.6	Hinweise zum Simulationsverfahren	3
4	Er	gebnisse16	ó
	4.1	Ergebnisübersicht	ó
	4.2	Ergebnisse am Messpunkt P1, Autobahn A24 südöstlich	7
	4.3	Ergebnisse am Messpunkt P2, Autobahn A24 südwestlich	)
	4.4	Ergebnisse am Messpunkt P3, Ausfahrt Lüttow	2
	4.5	Ergebnisse am Messpunkt P4, Lagerhallen EDEKA23	3
5	Zu	sammenfassung der Ergebnisse24	ŀ
6	Scl	nlussbemerkung24	ŀ
7	An	hang	ó

SolPEG GmbH Normannenweg 17-21 20537 Hamburg Germany ( ) +49 40 79 69 59 36 ( ) +49 40 79 69 59 38 ( ) info@solpeg.com ( ) www.solpeg.com

### SolPEG Blendgutachten

Analyse der potentiellen Blendwirkung der PV Anlage Valluhn-Gallin

### 1 Auftrag

#### 1.1 Beauftragung

Als unabhängiger Gutachter für Photovoltaik (PV) ist die SolPEG GmbH beauftragt, die potentielle Blendwirkung der geplanten PV Anlage "Valluhn-Gallin" für Verkehrsteilnehmer auf der A24 sowie für Anwohner der umliegenden Gebäude zu analysieren und die Ergebnisse zu dokumentieren.

#### 1.2 Hintergrund und Auftragsumfang

Die Umsetzung der Energiewende und die Bestrebungen für mehr Klimaschutz resultieren in Erfordernissen und Maßnahmen, die als gesellschaftlicher Konsens und somit als öffentliche Belange gesetzlich festgeschrieben sind. Z.B. im "Gesetz zur Stärkung der klimagerechten Entwicklung in den Städten und Gemeinden" (2011) und im "Gesetz für den Ausbau erneuerbarer Energien (Erneuerbare-Energien-Gesetz – EEG" (2017). Andererseits soll der Ausbau der erneuerbaren Energien auch die bestehenden Regelungen für den Immissionsschutz berücksichtigen. Dies gilt auch für Lichtimmissionen durch PV Anlagen.

Grundlage für die Berechnung und Beurteilung von Lichtimmissionen ist die sog. Lichtleitlinie<sup>1</sup>, die 1993 durch die Bund/Länder - Arbeitsgemeinschaft für Immissionsschutz (LAI) verfasst und 2012 um einen Abschnitt zu PV Anlagen erweitert wurde. Nach überwiegender Meinung von Experten enthält die Lichtleitlinie nicht unerhebliche Defizite bzw. Unklarheiten und ist als Instrument für die sachgerechte Beurteilung von Reflexionen durch PV Anlagen nur bedingt anwendbar. Weitere Ausführungen hierzu finden sich im Abschnitt 4.

Die vorliegende Untersuchung soll klären ob bzw. in wie weit von der PV Anlage "Valluhn-Gallin" eine Blendwirkung für schutzbedürftige Zonen im Sinne der Lichtleitlinie ausgehen könnte. Dies gilt insbesondere für Verkehrsteilnehmer u.a. auf der A24 sowie für Anwohner der umliegenden Gebäude.

Die zur Anwendung kommenden Berechnungs- und Beurteilungsgrundsätze resultieren im Wesentlichen aus den Empfehlungen in Anhang 2 der Lichtleitlinie in der aktuellen Fassung vom 08.10.2012. Die Berechnung der Blendwirkung erfolgt auf Basis von vorliegenden Planungsunterlagen der PV Anlage. Darüber hinaus wurden weitere Informationen anhand einer Standortbegehung erhoben.

Da aktuell kein angemessenes Regelwerk verfügbar ist, sind die gutachterlichen Ausführungen zu den rechnerisch ermittelten Simulationsergebnissen zu beachten.

Einzelne Aspekte der Lichtleitlinie werden an entsprechender Stelle widergegeben, eine weiterführende Beschreibung von theoretischen Hintergründen u.a. zu Berechnungsformeln kann im Rahmen dieses Dokumentes nicht erfolgen.

<sup>1</sup> Die Lichtleitlinie ist u.a. hier abrufbar: http://www.solpeg.de/LAI\_Lichtleitlinie\_2012.pdf

### 2 Systembeschreibung

#### 2.1 Standort Übersicht

Die Fläche des Solarparks befindet sich in einem landwirtschaftlichen Gebiet südlich von Valluhn in Mecklenburg-Vorpommern. Südlich der Fläche verläuft die Autobahn A24. Die folgenden Informationen und Bilder geben einen Überblick über den Standort.

Tabelle 1: Informationen über den Standort

Allgemeine Beschreibung des Standortes	Landwirtschaftliche Fläche südlich von Valluhn in Meck-		
	lenburg-Vorpommern. Die Fläche ist überwiegend eben.		
Koordinaten (Mitte)	53.515°N, 10.835°O 29 m ü.N.N.		
Grenzlänge entlang der Autobahn	ca. 500 m		
Abstand zu umliegenden Straßen	ca. 35 m		
Entfernung zu umliegenden Gebäuden	ca. 160 m (nicht relevant)		

Übersicht über den Standort und die PV Anlage (schematisch)



Bild 2.1.1: Luftbild mit Schema der PV Anlage (Quelle: Google Earth/SolPEG)

- **(**) +49 40 79 69 59 36
- +49 40 79 69 59 38 @ info@solpeg.com
- www.solpeg.com

### Detailansicht der PV Fläche und Umgebung.



Bild 2.1.2: Detailansicht der PV Fläche (Quelle: Google Earth/SolPEG)

#### Detailansicht



Bild 2.1.3: Detailansicht der PV Fläche (Quelle: Google Earth/SolPEG)

- **(**) +49 40 79 69 59 36
- +49 40 79 69 59 38 @ info@solpeg.com
- www.solpeg.com

### Aktuelle Fotos von der PV Fläche. Blick von Nordosten Richtung Südwesten.



Bild 2.1.4: Foto der PV Fläche (Quelle: SolPEG, Ortsbegehung)

### Blick von Nordwesten Richtung Südosten



Bild 2.1.5: Foto der PV Fläche (Quelle: SolPEG)

SolPEG GmbH Normannenweg 17-21 20537 Hamburg Germany +49 40 79 69 59 36 +49 40 79 69 59 38

@ info@solpeg.com

#### www.solpeg.com

#### 2.2 Umliegende Gebäude

Nicht alle wahrnehmbaren Reflexionen haben eine Blendwirkung zur Folge. In der Lichtleitlinie (Seite 23) wird zur Bestimmung einer Blendwirkung folgendes ausgeführt:

Ob es an einem Immissionsort im Jahresverlauf überhaupt zur Blendung kommt, hängt von der Lage des Immissionsorts relativ zur Photovoltaikanlage ab. Dadurch lassen sich viele Immissionsorte ohne genauere Prüfung schon im Vorfeld ausklammern: Immissionsorte

- die sich weiter als ca. 100 m von einer Photovoltaikanlage entfernt befinden erfahren erfahrungsgemäß nur kurzzeitige Blendwirkungen
- die vornehmlich nördlich von einer Photovoltaikanlage gelegen sind, sind meist ebenfalls unproblematisch.
- die vorwiegend südlich von einer Photovoltaikanlage gelegen sind, brauchen nur bei Photovoltaik-Fassaden (senkrecht angeordnete Photovoltaikmodule) berücksichtigt zu werden.

Hinsichtlich einer möglichen Blendung kritisch sind Immissionsorte, die vorwiegend westlich oder östlich einer Photovoltaikanlage liegen und nicht weiter als ca. 100 m von dieser entfernt.

---

Die folgende Skizze zeigt die PV Anlage und die südlich gelegenen Lagerhallen der EDEKA GmbH. Aufgrund des Strahlenganges gemäß Reflexionsgesetz können die Gebäude kaum von Reflexionen durch die PV Anlage erreicht werden, der Standort wird dennoch analysiert. Weitere Gebäude wurden nicht untersucht, da aufgrund von Entfernung und/oder Winkel zur Immissionsquelle keine Reflexionen zu erwarten sind. Privat-, Feld- und Wirtschaftswege werden nicht analysiert. Die Einzelergebnisse sind im Abschnitt 4 dargestellt und kommentiert.



Bild 2.2.1: Gebäude östlich der PV Anlage (Quelle: Google Earth/SolPEG)

www.solpeg.com

### 3 Ermittlung der potentiellen Blendwirkung

#### 3.1 Rechtliche Hinweise

Rechtliche Hinweise u.a. zur Lichtleitlinie sind nicht Bestandteil dieses Dokumentes.

#### 3.2 Blendwirkung von PV Modulen

Vereinfacht ausgedrückt nutzen PV Module das Sonnenlicht zur Erzeugung von Strom. Hersteller von PV Modulen sind daher bestrebt, dass möglichst viel Licht vom PV Modul absorbiert wird, da möglichst das gesamte einfallende Licht für die Stromproduktion genutzt werden soll. Die Materialforschung hat mit speziell strukturierten Glasoberflächen (Texturen) und Antireflexionsschichten den Anteil des reflektierten Lichtes auf 1-4 % reduzieren können. Folgende Skizze zeigt den Aufbau eines PV Moduls:

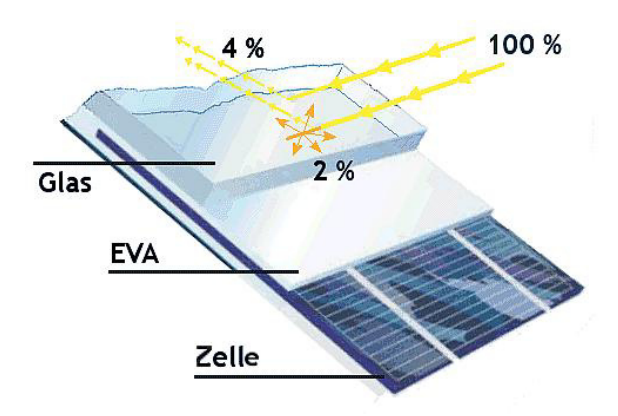


Bild 3.2.1: Anteil des reflektierten Sonnenlichtes bei einem PV Modul (Quelle: SolPEG)

PV Module zeigen im Hinblick auf Reflexion andere Eigenschaften als normale Glasoberflächen (z.B. PKW-Scheiben, Glasfassaden, Fenster, Gewächshäuser) oder z.B. Oberflächen von Gewässern. Direkt einfallendes Sonnenlicht wird von der Moduloberfläche diffus reflektiert:



Bild 3.2.2: Diffuse Reflexion von direkten Sonnenlicht (Einstrahlung ca. 980 W/m²) auf einem PV Modul (Quelle: SolPEG)



(L) +49 40 79 69 59 36 (L) +49 40 79 69 59 38 (L) info@solpeg.com

www.solpeg.com

Das folgende Bild verdeutlicht die Reflexion von verschiedenen Moduloberflächen im direkten Vergleich. Das mittlere Modul entspricht den aktuell marktüblichen PV Modulen wie auch im Bild 3.5.1 dargestellt. Durch die strukturierte Oberfläche wird das Sonnenlicht diffus mit einer stärkeren Streuung reflektiert und die Leuchtdichte ist entsprechend vermindert. Das Modul rechts im Bild zeigt aufgrund der speziellen Oberfläche praktisch keine direkte, sondern durch die starke Bündelaufweitung der Lichtstrahlen, ausschließlich diffuse Reflexion.



Bild 3.2.3: Diffuse Reflexion von unterschiedlichen Moduloberflächen (Quelle: Sandia National Laboratories, Ausschnitt)

Diese Eigenschaften können schematisch wie folgt dargestellt werden

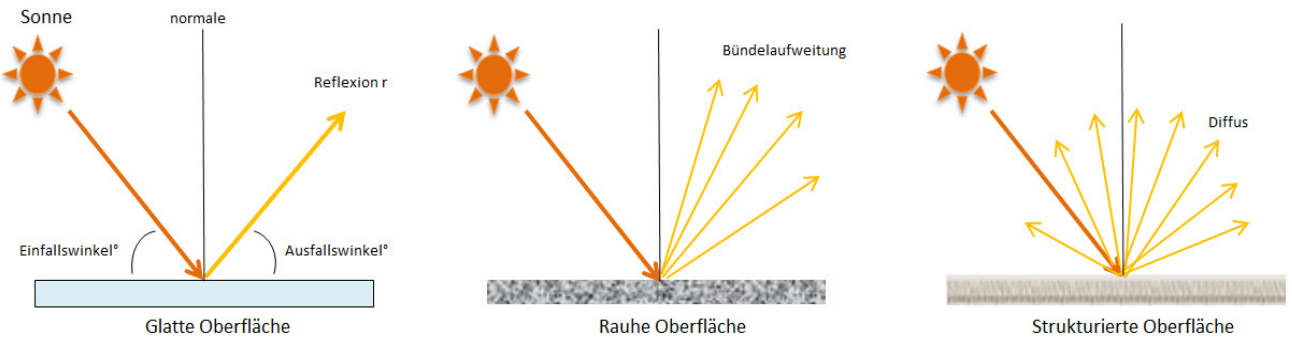


Bild 3.2.4: Reflexion von unterschiedlichen Oberflächen (Quelle: SolPEG)

Lt. Informationen des Auftraggebers sollen PV Module des Herstellers Trina Solar mit Anti-Reflexions-Eigenschaften zum Einsatz kommen. Die Simulationsparameter werden entsprechend eingestellt. Es können aber auch Module eines anderen Herstellers mit ähnlichen Eigenschaften verwendet werden. Damit kommen die nach aktuellem Stand der Technik möglichen Maßnahmen zur Vermeidung von Reflexion und Blendwirkungen zur Anwendung.

#### MECHANICAL DATA

Solar Cells	Monocrystalline
Cell Orientation	144 cells (6 × 24)
Module Dimensions	2102 ×1040× 35 mm (82.76 × 40.94 × 1.38 inches)
Weight	24.0 kg (52.9lb)
Glass	3.2 mm (0.13 inches), High Transmission, AR Coated Heat Strengthened Glass
Encapsulant Material	EVA
Backsheet	White
Frame	35 mm ( 1.38 inches) Anodized Aluminium Alloy

Bild 3.2.5: Auszug aus dem Moduldatenblatt, siehe auch Anhang



(\$\bigcup +49 40 79 69 59 36 (\$\bigcup +49 40 79 69 59 38 (\$\overline{0}\$ info@solpeg.com (\$\overline{0}\$ www.solpeg.com

#### 3.3 Berechnung der Blendwirkung

Die Berechnung der Reflexionen von elektromagnetischen Wellen (auch sichtbares Licht) erfolgt nach anerkannten physikalischen Erkenntnissen und den entsprechend abgeleiteten Gesetzen (u.a. Reflexionsgesetz, Lambertsches Gesetz) sowie den entsprechenden Berechnungsformeln.

Darüber hinaus kommen die in Anhang 2 der Lichtleitlinie beschriebenen Empfehlungen (Seite 21ff) zur Anwendung, es werden jedoch aufgrund fehlender Angaben u.a. für Fahrzeuglenker zusätzliche Quellen herangezogen, u.a. die Richtlinien der FAA<sup>2</sup> zur Beurteilung der Blendwirkung für den Flugverkehr.

Eine umfassende Darstellung der verwendeten Formeln und theoretischen Hintergründe der Berechnungen ist im Rahmen dieser Stellungnahme nicht möglich.

Der grundlegende Ansatz zur Berechnung der Reflexion ist wie folgt. Wenn die Position der Sonne und die Ausrichtung des PV Moduls (Neigung:  $\gamma_P$ , Azimut  $\alpha_P$ ) bekannt ist, kann der Winkel der Reflexion  $(\theta_P)$  mit der folgenden Formel berechnet werden:

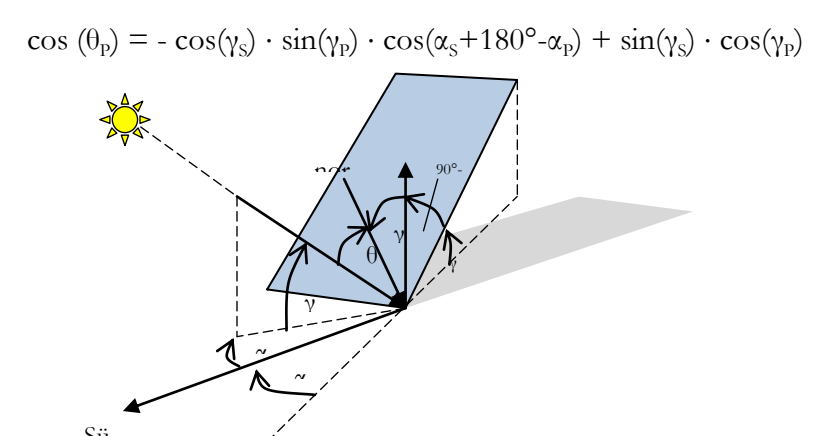


Bild 3.3.1: Schematische Darstellung der Reflexionen auf einer geneigten Fläche (Quelle: SolPEG)

Die unter 3.2 aufgeführten generellen Eigenschaften von PV Modulen (Glasoberfläche, Antireflexionsschicht) haben Einfluss auf den Reflexionsfaktor der Berechnung bzw. entsprechenden Berechnungsmodelle.

Die Simulation von Reflexionen geht zu jedem Zeitpunkt von einem klaren Himmel und direkter Sonneneinstrahlung aus, daher wird im Ergebnis immer die höchst mögliche Blendwirkung angegeben. Dies entspricht nur selten den realen Umgebungsbedingungen und auch Informationen über möglichen Sichtschutz durch Bäume, Gebäude oder andere Objekte können nicht ausreichend verarbeitet werden. Auch Wettereinflüsse wie z.B. Frühnebel/Dunst oder lokale Besonderheiten der Wetterbedingungen können nicht berechnet werden. Die Entfernung zur Blendquelle fließt in die Berechnung ein, jedoch sind sich die Experten uneinig ab welcher Entfernung eine Blendwirkung durch PV Anlagen zu vernachlässigen ist. In der Licht-Leitlinie<sup>3</sup> wird eine Entfernung von 100 m genannt.

Die durchgeführten Berechnungen wurden u.a. mit Simulationen und Modellen des Sandia National Laboratories<sup>4</sup>, New Mexico überprüft.

<sup>&</sup>lt;sup>2</sup> US Federal Aviation Administration (FAA) guidelines for analyzing flight paths: https://www.gpo.gov/fdsys/pkg/FR-2013-10-23/pdf/2013-24729.pdf

<sup>&</sup>lt;sup>3</sup> Lichtleitlinie Seite 22: Immissionsorte, die sich weiter als ca. 100 m von einer Photovoltaikanlage entfernt befinden erfahren erfahrungsgemäß nur kurzzeitige Blendwirkungen.

<sup>4</sup> Webseite der Sandia National Laboratories: http://www.sandia.gov



(\$\) +49 40 79 69 59 36 (\$\mathrev{\text{\tin}\text{\teint{\text{\text{\text{\text{\text{\text{\text{\text{\text{\text{\text{\text{\text{\text{\text{\ti}\text{\text{\text{\text{\text{\text{\text{\text{\text{\text{\text{\text{\text{\text{\text{\texi}\text{\text{\text{\text{\text{\text{\text{\text{\text{\text{\text{\text{\text{\text{\texi}\text{\text{\text{\texi}\text{\text{\text{\texi}\text{\text{\texi}\text{\text{\texi{\texi{\texi}\tex{\texit{\text{\texi}\text{\text{\texi}\text{\texi}\text{\texit{\t

www.solpeg.com

### 3.4 Technische Parameter der PV Anlage

Die optischen Eigenschaften und die Installation der Module, insbesondere die Ausrichtung und Neigung der Module sind wesentliche Faktoren für die Berechnung der Reflexionen. Lt. Planungsunterlagen werden PV Module mit Anti-Reflex Schicht verwendet, sodass deutlich weniger Sonnenlicht reflektiert wird als bei einfachen Modulen. Dennoch sind Reflexionen nicht ausgeschlossen, insbesondere wenn das Sonnenlicht abends und morgens in einem flachen Winkel auf die Moduloberfläche trifft. Die folgende Skizze verdeutlicht die Konstruktion der Modulinstallation.

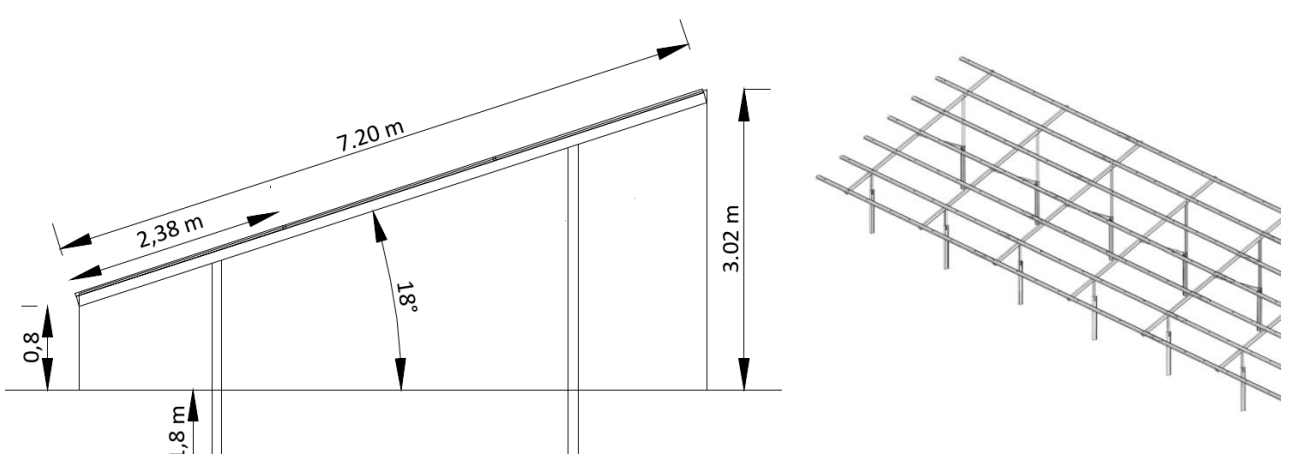


Bild 3.4.1: Skizze der Modulkonstruktion (Quelle: Systemplanung)

Die für die Untersuchung der Reflexion wesentlichen Parameter der PV Anlage sind in der folgenden Tabelle zusammengefasst.

Tabelle 1: Berechnungsparameter

PV Modul	Trina Solar (oder vergleichbar)
Moduloberfläche	Solarglas mit Anti-Reflexionsbehandlung (lt. Datenblatt)
Unterkonstruktion	Modultische, fest aufgeständert
Modulinstallation	3 Module hochkant übereinander (3P)
Ausrichtung (Azimut)	Süden (180°)
Modulneigung	20°
Höhe der sichtbaren Modulfläche	min. 0,80 m, max. 3,02 m
Anzahl Messpunkte gesamt	4 Messpunkte (siehe Skizze 3.5.1)
Azimut Blickrichtung Fahrzeugführer <sup>5</sup>	Fahrtrichtung +/- 20°
Höhe Messpunkte durchschnittlich	2,0 m über Boden

<sup>5</sup> Überwiegend wird angenommen, dass Reflexionen in einem Winkel von 20° und mehr zur Blickrichtung keine Beeinträchtigung darstellen. In einem Winkel zwischen 10° - 20° können Reflexionen eine moderate Blendwirkung erzeugen und unter 10° werden sie überwiegend als Beeinträchtigung empfunden.

Vor diesem Hintergrund wird der für Reflexionen relevante Blickwinkel als Fahrtrichtung +/- 20° definiert.

(L) +49 40 79 69 59 36 (m) +49 40 79 69 59 38

info@solpeg.comwww.solpeg.com

#### 3.5 Standorte für die Analyse

Eine Analyse der potentiellen Blendwirkung kann aus technischen Gründen nicht für beliebig viele Messpunkte (Immissionsorte) durchgeführt werden. Je nach Größe und Beschaffenheit der PV Anlage werden in der Regel 4 - 5 Messpunkte gewählt und die jeweils im Jahresverlauf auftretenden Reflexionen ermittelt. Die Position der Messpunkte wird anhand von Erfahrungswerten sowie den Ausführungen der Lichtleitlinie zu schutzwürdigen Zonen festgelegt. U.a. können Objekte im Süden von PV Anlagen aufgrund des Strahlenverlaufs gemäß Reflexionsgesetz nicht von potentiellen Reflexionen erreicht werden und werden daher nur in besonderen Fällen untersucht.

Für die Analyse einer potentiellen Blendwirkung der PV Anlage Valluhn-Gallin wurden insgesamt 4 Messpunkte festgelegt. 2 Messpunkte im Verlauf der Autobahn A24, 1 Messpunkt auf umliegenden Straßen sowie 1 Messpunkt im Bereich der EDEKA Lagerhallen.

Weitere Standorte an Gebäuden oder Straßen wurden nicht weiter untersucht, da aufgrund von Entfernung und/oder Winkel zur Immissionsquelle keine Beeinträchtigungen durch potentielle Reflexionen zu erwarten sind.

Die folgende Übersicht zeigt die PV Anlage und die gewählten Messpunkte:



Bild 3.5.1: Übersicht über die PV Anlage und Messpunkte (Quelle: Google Earth/SolPEG)

SolPEG GmbH Normannenweg 17-21 20537 Hamburg Germany 

#### 3.6 Hinweise zum Simulationsverfahren

#### Licht-Leitlinie

Grundlage für die Berechnung und Beurteilung von Lichtimmissionen ist in Deutschland die sog. Licht-Leitlinie, die erstmals 1993 durch die Bund/Länder - Arbeitsgemeinschaft für Immissionsschutz (LAI) verfasst wurde. Die Lichtleitlinie ist weder eine Norm noch ein Gesetz sondern lt. LAI Vorbemerkung "... ein System zur Beurteilung der Wirkungen von Lichtimmissionen auf den Menschen" welches ursprünglich für die Bemessung von Lichtimmissionen durch Flutlicht- oder Beleuchtungsanlagen von Sportstätten konzipiert wurde. Anlagen zur Beleuchtung des öffentlichen Straßenraumes, Blendwirkung durch PKW Scheinwerfer usw. werden nicht behandelt.

Im Jahr 2000 wurden Hinweise zu schädlichen Einwirkungen von Beleuchtungsanlagen auf Tiere - insbesondere auf Vögel und Insekten - und Vorschläge zu deren Minderung ergänzt. Ende 2012 wurde ein 4-seitiger Anhang zum Thema Reflexionen durch Photovoltaik (PV) Anlagen hinzugefügt. Lichtimmissionen gehören nach dem BImSchG zu den schädlichen Umwelteinwirkungen, wenn sie nach Art, Ausmaß oder Dauer geeignet sind, **erhebliche Nachteile** oder **erhebliche Belästigungen** für die Allgemeinheit oder für die Nachbarschaft **herbeizuführen**. Bedauerlicherweise hat der Gesetzgeber die immissionsschutzrechtliche **Erheblichkeit** für Lichtimmissionen bisher nicht definiert und eine Definition auch nicht in Aussicht gestellt.

Für Reflexionen durch PV Anlagen ist in der Lichtleitlinie ein Immissionsrichtwert von maximal 30 Minuten pro Tag und maximal 30 Stunden pro Jahr angegeben. Diese Werte wurden nicht durch wissenschaftliche Untersuchungen mit entsprechenden Probanden in Bezug auf Reflexionen durch PV Anlagen ermittelt, sondern stammen aus einer Untersuchung zur Belästigung durch periodischen Schattenwurf und Lichtreflexe ("Disco-Effekt") von Windenergieanlagen (WEA).

Auch in diesem Bereich hat der Gesetzgeber bisher keine rechtsverbindlichen Richtwerte für die Belästigung durch Lichtblitze und bewegten, periodischen Schattenwurf durch Rotorblätter einer WEA erlassen oder in Aussicht gestellt. Die Übertragung der Ergebnisse aus Untersuchungen zum Schattenwurf von WEA Rotoren auf unbewegliche Installationen wie PV Anlagen ist unter Experten äußerst umstritten und vor diesem Hintergrund hat eine individuelle Bewertung von Reflexionen durch PV Anlagen Vorrang vor den rechnerisch ermittelten Werten.

Allgemeiner Konsens ist die Notwendigkeit von weiterführenden Forschung und Konkretisierung der vorhandenen Regelungen. U.a.

Christoph Schierz, TU Ilmenau, FG Lichttechnik, 2012:

Welches die zulässige Dauer einer Blendwirkung sein soll, ist eigentlich keine wissenschaftliche Fragestellung, sondern eine der gesellschaftlichen Vereinbarung: Wie viele Prozent stark belästigter Personen in der exponierten Bevölkerung will man zulassen? Die Wissenschaft müsste aber eine Aussage darüber liefern können, welche Expositionsdauer zu welchem Anteil stark Belästigter führt. Wie bereits erwähnt, stehen Untersuchungen dazu noch aus. .. Es existieren noch keine rechtlichen oder normativen Methoden zur Bewertung von Lichtimmissionen durch von Solaranlagen gespiegeltes Sonnenlicht.

Michaela Fischbach, Wolfgang Rosenthal, Solarpraxis AG:

Während die Berechnungen möglicher Reflexionsrichtungen klar aus geometrischen Verhältnissen folgen, besteht hinsichtlich der Risikobewertung reflektierten Sonnenlichts noch erheblicher Klärungsbedarf...

Im Zusammenhang mit der Übernahme zeitlicher Grenzwerte der Schattenwurfrichtlinie besteht noch Forschungsbedarf hinsichtlich der belästigenden Wirkung statischer Sonnenlichtreflexionen. Da in der Licht-Richtlinie klar unterschieden wird zwischen konstantem und Wechsellicht und es sich beim periodischen Schattenwurf von Windenergieanlagen um das generell stärker belästigende Wechsellicht handelt, liegt die Vermutung nahe, dass zeitliche Grenzwerte für konstante Sonnenlichtreflexionen deutlich über denen der Schattenwurfrichtlinie anzusetzen wären.



SolPEG GmbH Normannenweg 17-21 20537 Hamburg Germany

#### Schutzwürdige Räume

In der Lichtleitlinie sind einige "schutzwürdige Räume" - also ortsfeste Standorte - aufgeführt, für die zu bestimmten Tageszeiten störende oder belästigende Einflüsse durch Lichtimmissionen zu vermeiden sind. Es fehlt<sup>6</sup> allerdings eine Definition oder Empfehlung zum Umgang mit Verkehrswegen und auch zu Schienen- und Kraftfahrzeugen als "beweglichen" Räumen. Eine Blendwirkung an beweglichen Standorten ist in Bezug zur Geschwindigkeit zu sehen, d.h. eine Reflexion kann an einem festen Standort über mehrere Minuten auftreten, ist jedoch bei der Vorbeifahrt mit 100 km/h ggf. nur für Sekundenbruchteile wahrnehmbar. Aber trotz einer physiologisch unkritischen Leuchtdichte kann die Blendwirkung durch frequente Reflexionen subjektiv als störend empfunden werden (psychologische Blendwirkung). Vor diesem Hintergrund kann die Empfehlung der Lichtleitlinie in Bezug auf die maximale Dauer von Reflexionen in "schutzwürdigen Räumen" nicht ohne weiteres auf Fahrzeuge übertragen werden. Die reinen Zahlen der Simulationsergebnisse sind immer auch im Kontext zu verstehen.

#### Einfallswinkel der Reflexion

Die Fachliteratur enthält ebenfalls keine einheitlichen Aussagen zur Berechnung und Beurteilung der Blendwirkung von Fahrzeugführern durch reflektiertes Sonnenlicht und auch unter den Experten gibt es bislang keine einheitliche Meinung, ab welchem Winkel eine Reflexion bei Tageslicht als objektiv störend empfunden wird. Dies hängt u.a. mit den Abbildungseigenschaften des Auges zusammen wonach die Dichte der Helligkeitsrezeptoren (Zapfen) außerhalb des zentralen Schärfepunktes (Fovea Centralis) abnimmt.

Überwiegend wird angenommen, dass Reflexionen in einem Winkel ab 20° zur Blickrichtung keine Beeinträchtigung darstellen. In einem Winkel zwischen 10° - 20° können Reflexionen eine moderate Blendwirkung erzeugen und unter 10° werden sie überwiegend als Beeinträchtigung empfunden. Vor diesem Hintergrund ist in dieser Untersuchung der für Reflexionen relevante Blickwinkel als Fahrtrichtung +/- 20° definiert.

#### Entfernung zur Immissionsquelle

Lt. Lichtleitlinie "erfahren Immissionsorte, die sich weiter als ca. 100 m von einer Photovoltaikanlage entfernt befinden, erfahrungsgemäß nur kurzzeitige Blendwirkungen. Lediglich bei ausgedehnten Photovoltaikparks **könnten** auch weiter entfernte Immissionsorte noch relevant sein."

In der hier zur Anwendung kommenden Simulationssoftware werden alle Reflexionen berücksichtigt, die aufgrund des Strahlenverlaufs gemäß Reflexionsgesetz physikalisch auftreten können. Daher sind die reinen Ergebniswerte als konservativ/extrem anzusehen und werden ggf. relativiert bewertet. Insbesondere werden mögliche Reflexionen geringer gewichtet wenn die Immissionsquelle mehr als 100 m entfernt ist.

<sup>6</sup> Lichtleitlinie "2. Anwendungsbereich", Seite 2 ff., bzw. Anhang 2 ab Seite 22



(\$\bigcup +49 40 79 69 59 36 (\$\bigcup +49 40 79 69 59 38 (\$\overline{0}\) info@solpeg.com (\$\overline{0}\) www.solpeg.com

#### Sonstige Einflüsse

Aufgrund von technischen Limitierungen geht die Simulationssoftware zu jedem Zeitpunkt von sog. clear-sky Bedingungen aus, d.h. einem wolkenlosen Himmel und entsprechender Sonneneinstrahlung. Daher stellt das Simulationsergebnis immer die höchst mögliche Blendwirkung dar.

Dies entspricht nicht den realen Wetterbedingungen insbesondere in den Morgen- oder Abendstunden, in denen die Reflexionen auftreten können. Einflüsse wie z.B. Frühnebel, Dunst oder besondere, lokale Wetterbedingungen können nicht berechnet werden.

In der Lichtleitlinie gibt es keine Hinweise wie mit meteorologischen Informationen zu verfahren ist obwohl zahlreiche Datenquellen und Klima-Modelle (z.B. TMY<sup>7</sup>) vorhanden sind. Der Deutsche Wetterdienst DWD hat für Deutschland für das Jahr 2020 eine mittlere Wolkenbedeckung<sup>8</sup> von ca. 78 % ermittelt. Der Durchschnittswert für den Zeitraum 1982-2009 liegt bei 62,5 % - 75 %.

Aber auch der Geländeverlauf und Informationen über möglichen Sichtschutz durch Hügel, Bäume oder andere Objekte können nicht ausreichend verarbeitet werden.

Es handelt sich dabei allerdings um Limitierungen der Software und nicht um Vorgaben für die Berechnung von Reflexionen. Eine realitätsnahe Simulation ist mit der aktuell verfügbaren Simulationssoftware nur begrenzt möglich.

### Kategorien von Reflexionen

Fachleute sind überwiegend der Meinung, dass die sog. Absolutblendung, die eine Störung der Sehfähigkeit bewirkt, ab einer Leuchtdichte von ca. 100.000 cd/m² beginnt. Störungen sind z.B. Nachbilder in Form von hellen Punkten nachdem in die Sonne geschaut wurde. Auch in der LAI Lichtleitlinie ist dieser Wert angegeben (S. 21, der Wert ist bezogen auf die Tagesadaption des Auges).

Aber nicht alle Reflexionen führen zwangsläufig zu einer Blendwirkung, da es sich neben den messbaren Effekten auch in einem hohen Maß um eine subjektiv empfundene Erscheinung/Irritation handelt (Psychologische Blendwirkung). Das Forschungsinstitut Sandia National Labortories (USA) hat verschiedene Untersuchungen auf diesem Gebiet analysiert und eine Skala entwickelt, die die Wahrscheinlichkeit für Störungen/Nachbilder durch Lichtimmissionen in Bezug zu ihrer Intensität kategorisiert. Diese Kategorisierung entspricht dem Bezug zwischen Leuchtdichte (W/cm²) und Ausdehnung (Raumwinkel, mrad). Die folgende Skizze zeigt die Bewertungsskala in der Übersicht und auch das hier verwendete Simulationsprogramm stellt die jeweiligen Messergebnisse in ähnlicher Weise dar.

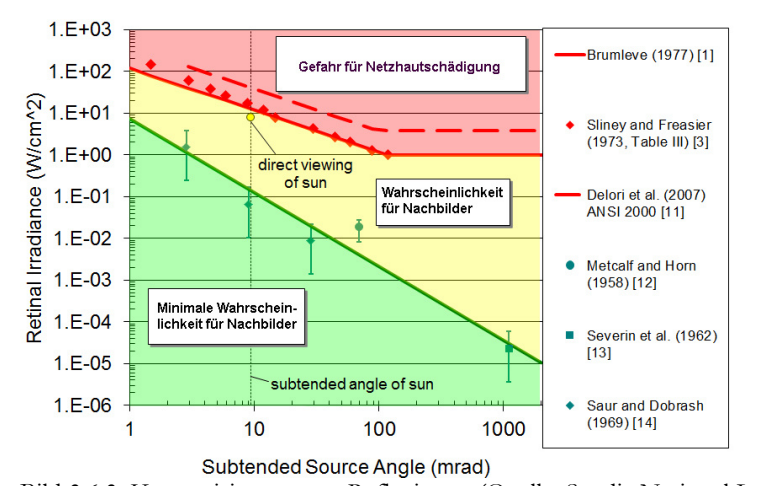


Bild 3.6.3: Kategorisierung von Reflexionen (Quelle: Sandia National Labortories, siehe auch Diagramme im Anhang)

Bild: https://www.dwd.de/DWD/klima/rcccm/int/rcc eude cen cfc mean 2020 17.png

<sup>7</sup> Handbuch: https://www.nrel.gov/docs/fy08osti/43156.pdf

<sup>8</sup> DWD Service: https://www.dwd.de/DE/leistungen/rcccm/int/rcccm\_int\_cfc.html

SolPEG GmbH Normannenweg 17-21 20537 Hamburg Germany

### 4 Ergebnisse

#### 4.1 Ergebnisübersicht

Die Berechnung der potentiellen Blendwirkung der PV Anlage Valluhn-Gallin wird für 4 exemplarisch gewählte Messpunkte (Immissionsorte) durchgeführt. Das Ergebnis ist die Anzahl von Minuten pro Jahr, in denen Reflexionen auftreten können und daraus resultierend ggf. eine Blendwirkung der Kategorien "Minimal" und "Gering".

Die Kategorien entsprechen den Wertebereichen der Berechnungsergebnisse in Bezug auf Leuchtdichte und -dauer. Die Wertebereiche sind im Diagramm 3.6.3 auch als farbige Flächen dargestellt:

- Minimale Wahrscheinlichkeit für temporäre Nachbilder
- Geringe Wahrscheinlichkeit für temporäre Nachbilder

Die unbereinigten Ergebnisse (Rohdaten) beinhalten alle rechnerisch ermittelten Reflexionen, auch solche, die It. Ausführungen der LAI Lichtleitlinie zu schutzwürdigen Zonen zu vernachlässigen sind. U.a. sind Reflexionen mit einem Differenzwinkel zwischen Sonne und Immissionsquelle von weniger als 10° zu vernachlässigen, da in solchen Konstellationen die Sonne selbst die Ursache für eine mögliche Blendwirkung darstellt. Auch Reflexionen die im "nächtlichen Zeitfenster" von 22:00 – 06:00 Uhr auftreten würden, sind zu relativieren bzw. zu vernachlässigen. Nach Bereinigung der Rohdaten sind die Ergebnisse üblicherweise um ca. 20 - 50% geringer und es sind nur noch Werte der Kategorie "Gelb" vorhanden. D.h. es besteht eine geringe Wahrscheinlichkeit für temporäre Nachbilder.

Die folgende Tabelle 3 zeigt die Ergebniswerte nach Bereinigung der Rohdaten und Anmerkungen zu weiteren Einschränkungen. Die Zahlen dienen der Übersicht aus formellen Gründen und sind nur im Kontext und mit den genannten Einschränkungen zu verwenden. Diese werden im weiteren Verlauf von Abschnitt 4 für die jeweiligen Messpunkte gesondert beschrieben.

Tabelle 2: Potentielle Blendwirkung an den jeweiligen Messpunkten [Kategorie , Minuten pro Jahr]

Messpunkt	PV Feld
P1 Autobahn A24 Südost	161 <sup>WG</sup>
P2 Autobahn A24 Südwest	2046 <sup>WG</sup>
P3 Ausfahrt A24 / Dorfstraße	6002 <sup>G</sup>
P4 Lagerhallen EDEKA	-

W Aufgrund des Einfallswinkels zu vernachlässigen

#### Hinweis:

Die Simulation wurde zusätzlich in einer Variante mit 18° Modulneigung uns mit einer Variante mit 10° Modulneigung und Ost-West Ausrichtung durchgeführt. Es zeigen sich an einzelnen Immissionsorten erwartungsgemäß leicht abweichende Minutenwerte aber insgesamt sind die Abweichungen vernachlässigbar und daher kann die geplante PV Anlage auch mit Ost-West Ausrichtung realisiert werden. Die weiteren Ausführungen beziehen sich auf die Variante mit 20° Modulneigung wie in Tabelle 1 beschrieben.

<sup>&</sup>lt;sup>E</sup> Aufgrund der Entfernung zur Immissionsquelle zu vernachlässigen

<sup>&</sup>lt;sup>G</sup> Aufgrund der Geländestruktur oder Hindernissen/Sichtschutz zu vernachlässigen

info@solpeg.com www.solpeg.com

### 4.2 Ergebnisse am Messpunkt P1, Autobahn A24 südöstlich

Am Messpunkt P1 auf der A24 können bei der Fahrt Richtung Westen rein rechnerisch an nur 161 Minuten pro Jahr Reflexionen durch die PV Anlage auftreten. Diese können zwischen dem 27. Mai und dem 22. Juli in den Abendstunden zwischen 18:21 - 18:44 Uhr für max. 9 Minuten pro Tag aus westlicher Richtung auftreten. Aufgrund der kurzen zeitlichen Dauer aber auch aufgrund der großen Entfernung von ca. 230 m - 570 m zur Immissionsquelle sind potentielle Reflexionen zu vernachlässigen. Eine Beeinträchtigung von Fahrzeugführern bzw. des fließenden Verkehrs durch Reflexionen durch die PV Anlage kann mit hinreichender Sicherheit ausgeschlossen werden.

Zur Veranschaulichung zeigt die folgende Skizze die potentiellen Reflexionen am Messpunkt P1 auf Basis der unbereinigten Rohdaten.

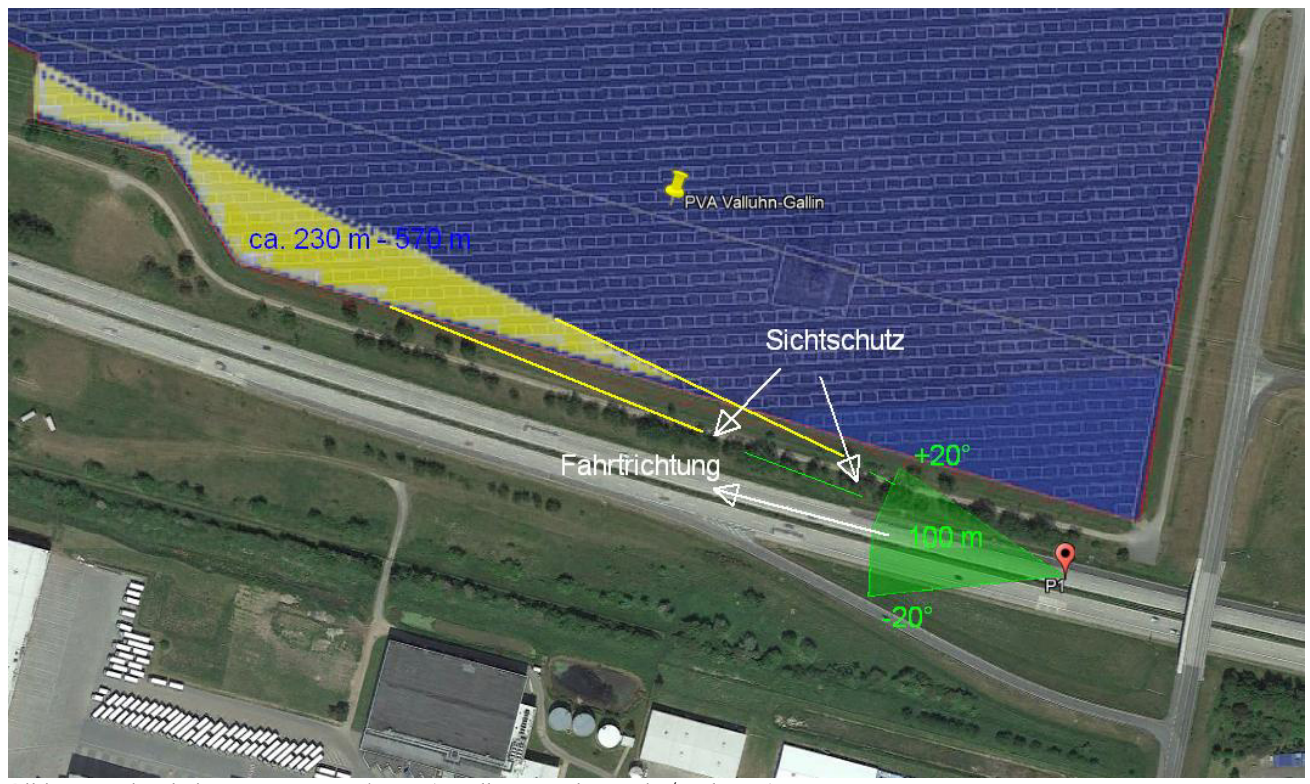


Bild 4.2.1: Simulation am Messpunkt P1 (Quelle: Google Earth / SolPEG)

Der grün markierte Bereich symbolisiert den für Fahrzeugführer relevanten Sichtwinkel (+/- 20° zur Fahrrichtung, ca. 100 m). Im gelb/weiß markierten Bereich in ca. 230 m - 570 m Entfernung könnten rein rechnerisch Reflexionen auftreten.

**(** +49 40 79 69 59 36 (a) +49 40 79 69 59 38

@ info@solpeg.com

www.solpeg.com

Das folgende Foto zeigt die Situation im Bereich von Messpunkt P1 in der Realität aus Sicht des Fahrzeugführers. Der relevante Sichtbereich ist leicht heller dargestellt.

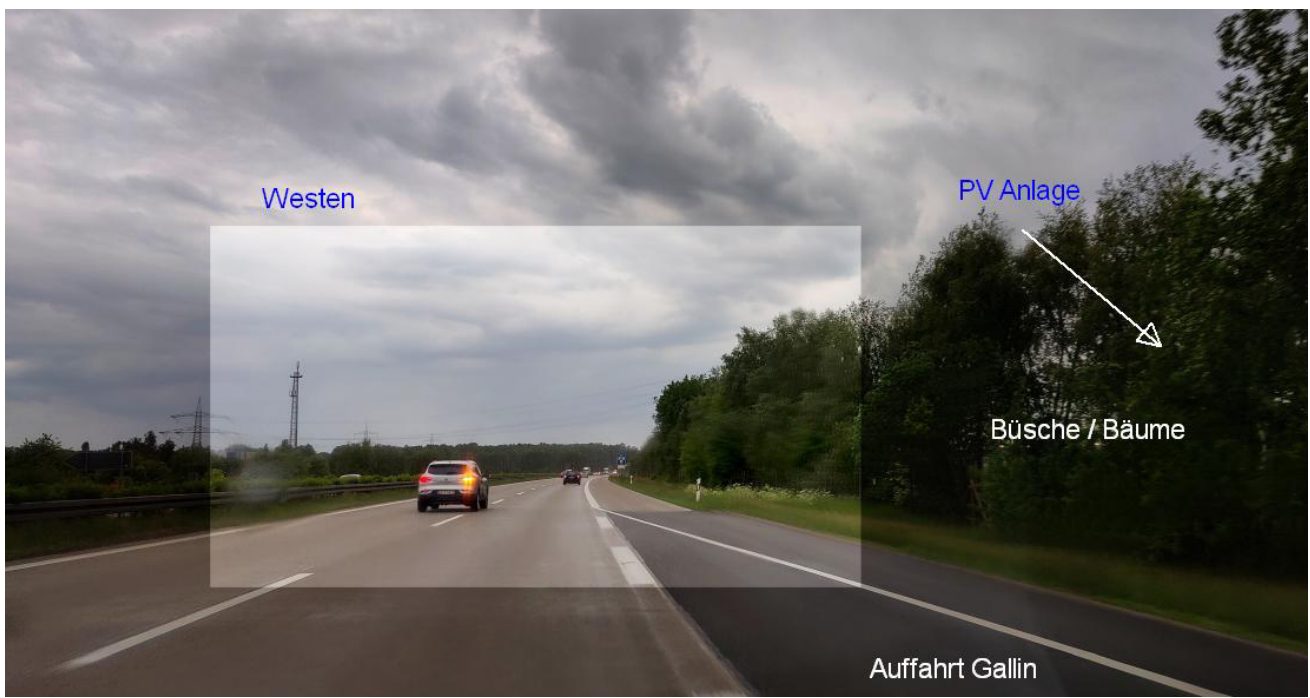


Bild 4.2.2: Foto am Messpunkt P1 (Quelle: SolPEG)

Das Foto verdeutlicht, dass in diesem Bereich aufgrund von Bewuchs aus Büschen und Bäumen kein direkter Sichtkontakt zur Immissionsquelle vorhanden ist. Selbst bei einer Totalrodung wären potentielle Immissionen überwiegend außerhalb des für Fahrzeugführer relevanten Sichtwinkels. Die ohnehin geringfügigen, rechnerisch ermittelten Ergebnisse sind in der Realität nicht anwendbar.

### 4.3 Ergebnisse am Messpunkt P2, Autobahn A24 südwestlich

Am Messpunkt P2 auf der A24 können bei der Fahrt Richtung Osten theoretisch Reflexionen durch die PV Anlage auftreten. An insgesamt 2046 Minuten pro Jahr und an max. 15 Minuten pro Tag<sup>9</sup> sind Reflexionen durch die PV Anlage möglich. Die folgende Tabelle zeigt die Ergebnisse in der Übersicht.

Tabelle 3: Mögliches Auftreten und Dauer von Reflexionen am Messpunkt P1

Zeitraum Beginn	Zeitraum Ende	Minuten pro Tag (max.)	Minuten im Zeitraum	Erstes Auftreten	Letztes Auftreten
18. März	19. März	7	12	06:34	06:40
21. März	24. September	15	2034	06:00	06:38

Das folgende Diagramm verdeutlicht die Verteilung der aufgeführten Minuten pro Tag im Jahresverlauf bzw. im relevanten Zeitraum.

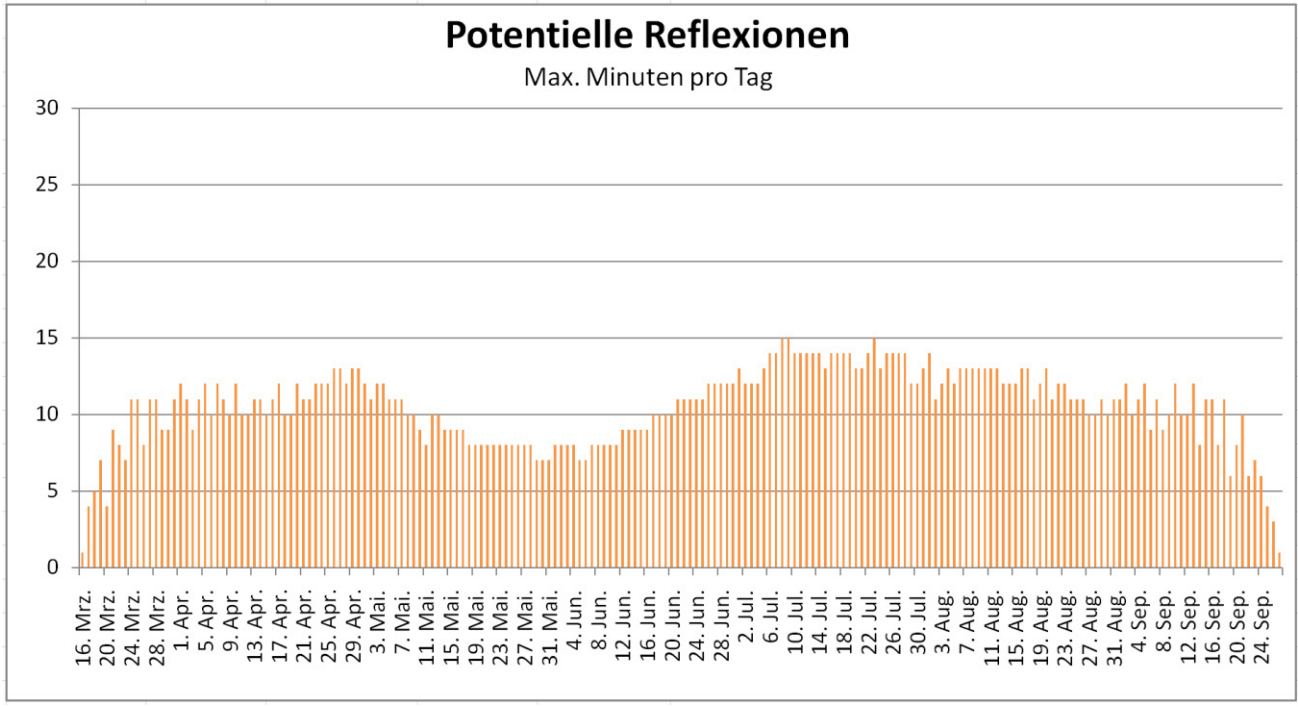


Bild 4.3.1: Reflexionen pro Tag im Jahresverlauf (Quelle: Simulationsergebnisse, aufbereitet)

<sup>9</sup> Generell wird das Auftreten von Reflexionen an weniger als 5 Minuten pro Tag nicht berücksichtigt (Messunsicherheit)

( +49 40 79 69 59 36 ( +49 40 79 69 59 38

@ info@solpeg.com

www.solpeg.com

Zur Veranschaulichung zeigt die folgende Skizze die potentiellen Reflexionen am Messpunkt P2 auf Basis der unbereinigten Rohdaten.

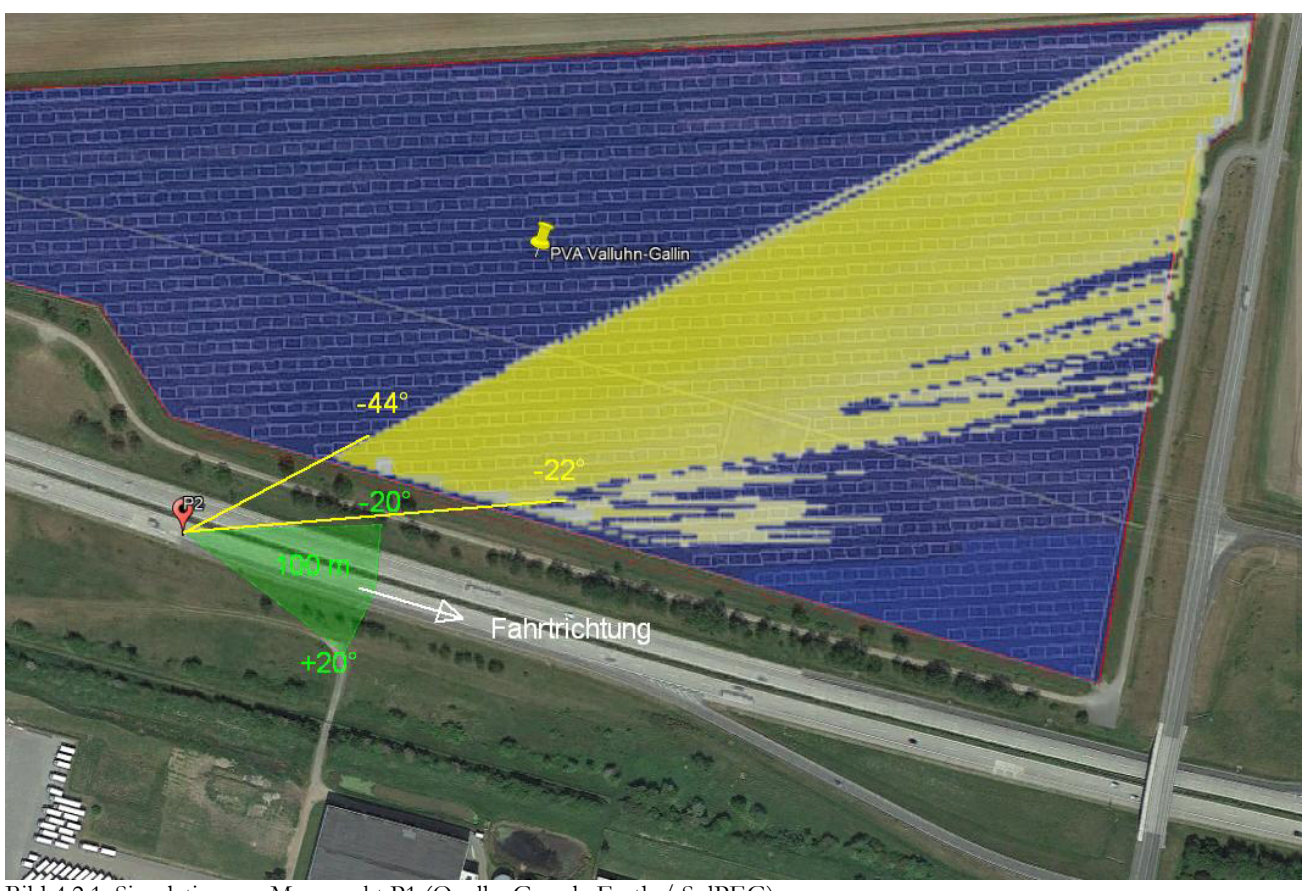


Bild 4.2.1: Simulation am Messpunkt P1 (Quelle: Google Earth / SolPEG)

Der grün markierte Bereich symbolisiert den für Fahrzeugführer relevanten Sichtwinkel (+/- 20° zur Fahrrichtung, ca. 100 m). Im gelb/weiß markierten Bereich könnten rein rechnerisch Reflexionen auftreten. Diese liegen überwiegend außerhalb des relevanten Sichtwinkels und sind daher zu vernachlässigen.

Eine Beeinträchtigung von Fahrzeugführern im Bereich von Messpunkt P2 durch Reflexionen durch die PV Anlage kann mit hinreichender Wahrscheinlichkeit ausgeschlossen werden.

- **(** +49 40 79 69 59 36 (a) +49 40 79 69 59 38
- @ info@solpeg.com
- www.solpeg.com

Die folgende Skizze (Pseudo 3D) zeigt die Situation am Messpunkt P2 beispielhaft am 10. Mai um 06:30 Uhr und verdeutlicht, dass potentielle Reflexionen außerhalb des relevanten Sichtwinkels auftreten.

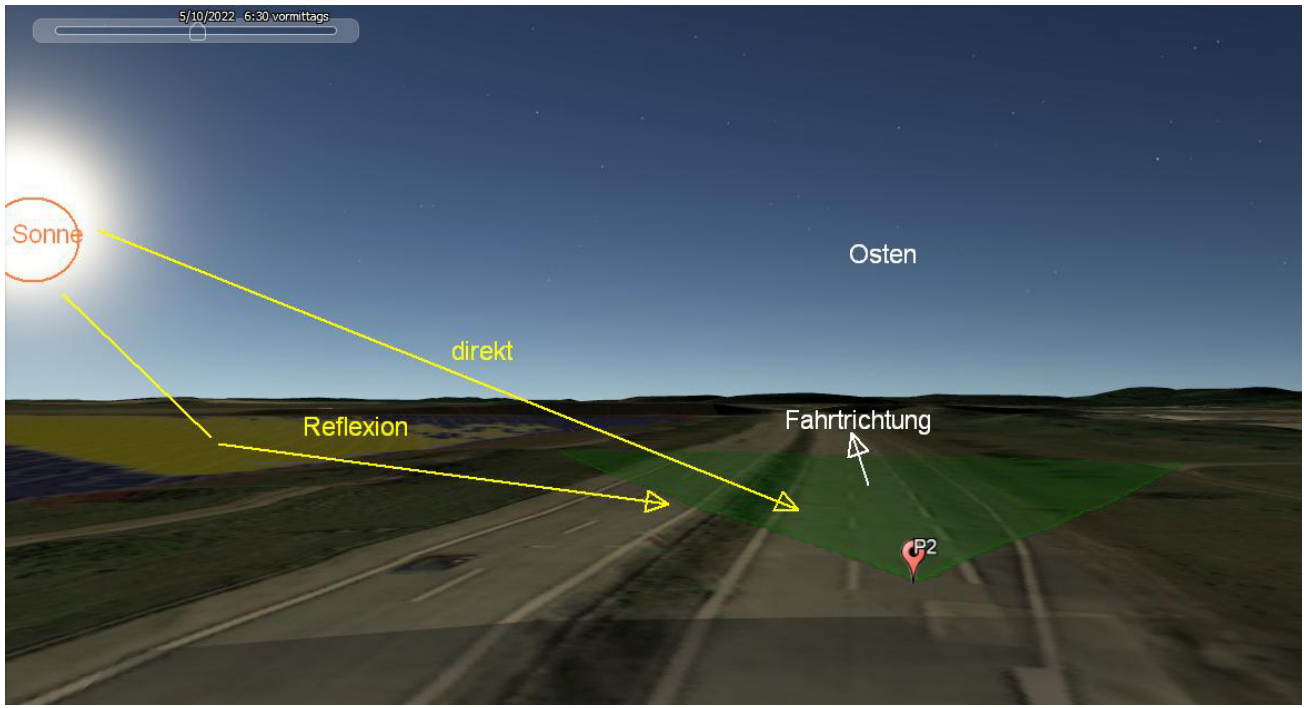


Bild 4.3.2: Simulation am Messpunkt P2, Pseudo 3D (Quelle: Google Earth / SolPEG)

Das folgende Foto zeigt den Bereich am Messpunkt P2 bei der Fahrt Richtung Osten in der Realität aus Sicht des Fahrzeugführers. Der relevante Sichtbereich ist leicht heller dargestellt.



Bild 4.3.3: Foto am Messpunkt P2 (Quelle: SolPEG)

Das Foto verdeutlicht zudem, dass aufgrund von Bewuchs aus Büschen und Bäumen im Randbereich kein direkter Sichtkontakt zur Immissionsquelle vorhanden ist. Dieser Aspekt ist allerdings weniger relevant.



(\$\bigcup +49 40 79 69 59 36 (\$\bigcup +49 40 79 69 59 38 (\$\overline{0}\$ info@solpeg.com (\$\overline{0}\$ www.solpeg.com

### 4.4 Ergebnisse am Messpunkt P3, Ausfahrt Lüttow

Messpunkt P3 auf der Ausfahrt Lüttow bzw. an der Einmündung auf die Dorfstraße wurde zu Kontrollzwecken untersucht da in diesem Bereich erhöhte Aufmerksamkeit erforderlich ist. Rein rechnerisch können am Messpunkt P3 Reflexionen durch die PV Anlage auftreten da die Simulation den Strahlenverlauf zwischen zwei Punkten im leeren Raum berechnet. In der Realität besteht allerdings aufgrund des Höhenunterschieds zwischen Fahrbahn und PV Anlage kein direkter Sichtkontakt und daher sind die rechnerisch ermittelten Ergebnisse in der Realität nicht anwendbar.

Die folgende Skizze zeigt den Geländeverlauf zwischen der A24 und der PV Anlage und verdeutlicht, dass der theoretisch berechnete Strahlengang in der Realität nicht anwendbar ist.

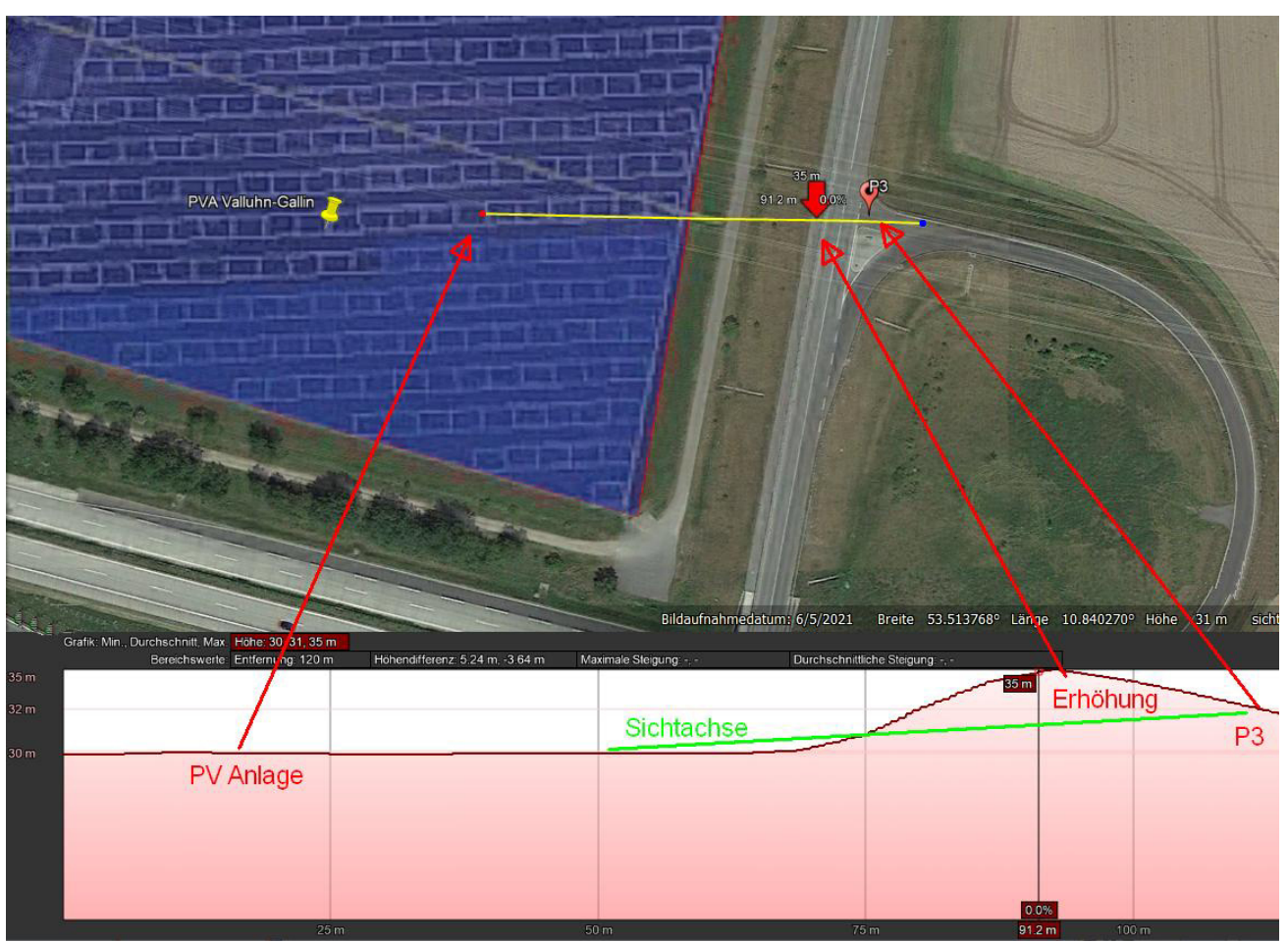


Bild 4.4.1: Geländeverlauf zwischen der PV Anlage und der A24 (Quelle: Google Earth / SolPEG)

Eine Beeinträchtigung von Fahrzeugführern im Bereich von Messpunkt P3 durch Reflexionen durch die PV Anlage kann mit hinreichender Wahrscheinlichkeit ausgeschlossen werden.

Das folgende Foto zeigt die Situation im Bereich von Messpunkt P3 bei der Fahr Richtung Norden. Das Foto verdeutlicht, dass die PV Anlage links (westlich), außerhalb des für Fahrzeugführer relevanten Sichtwinkels liegt. Für Fahrzeuge, die von der A24 kommend auf die Dorfstraße einbiegen ist die Fläche der PV Anlage nicht einsehbar.



Bild 4.4.2: Foto am Messpunkt P3 (Quelle: SolPEG)

#### 4.5 Ergebnisse am Messpunkt P4, Lagerhallen EDEKA

Am Messpunkt P4 im Bereich der EDEKA Lagerhallen und Parkplätze südlich der PV Anlage wurde zu Kontrollzwecken untersucht da aufgrund des Strahlenverlaufes gemäß Reflexionsgesetz nicht mit Reflexionen durch die PV Anlage zu rechnen ist. Erwartungsgemäß zeigt die Simulation keine Ergebnisse. Wie bereits erwähnt wurde die PV Anlage mit unterschiedlichen Varianten simuliert und auch die Variante mit anderem Neigungswinkel und auch mit einer Ost-West Ausrichtung zeigt für den Messpunkt P4 keine Ergebnisse,

Eine Beeinträchtigung von Mitarbeitern im Bereich von Messpunkt P4 im Sinne der LAI Lichtleitlinie kann mit hinreichender Sicherheit ausgeschlossen werden.

SolPEG GmbH Normannenweg 17-21 20537 Hamburg Germany

### 5 Zusammenfassung der Ergebnisse

Die potentielle Blendwirkung der hier betrachteten PV Anlage Valluhn-Gallin kann als "geringfügig" klassifiziert<sup>10</sup> werden. Im Vergleich zur Blendwirkung durch direktes Sonnenlicht oder durch Spiegelungen von Windschutzscheiben, Wasserflächen, Gewächshäusern o.ä. ist diese "vernachlässigbar". Unter Berücksichtigung von weiteren Einflussfaktoren wie z.B. Geländestruktur, lokalen Wetterbedingungen (Frühnebel, etc.) kann die Wahrscheinlichkeit für das Auftreten von Reflexion durch die PV Anlage als gering eingestuft werden.

Der Auftraggeber hat bei der geplanten PV Anlage Valluhn-Gallin mit dem Einsatz von PV Modulen mit Anti-Reflexionsschicht die nach aktuellem Stand der Technik möglichen Maßnahmen zur Reduzierung von potentiellen Reflexionen vorgesehen.

Für die hier betrachtete PV Anlage wurden verschiedene Simulationen durchgeführt, u.a. mit unterschiedlichen Modulneigungen und Ausrichtung der Anlage. Erwartungsgemäß zeigen sich an einzelnen Immissionsorten leicht abweichende Ergebnisse, die Ausführungen zu den jeweiligen Messpunkten sind dennoch gültig. Die PV Anlage kann demnach mit einer Modulneigung von 15° - 20° oder auch mit einer Ost-West Ausrichtung mit 10° Neigungswinkel errichtet werden.

Die Analyse von 4 exemplarisch gewählten Messpunkten im Umfeld der PV Flächen zeigt für Verkehrsteilnehmer auf der A24 nur eine geringfügige, theoretische Wahrscheinlichkeit für Reflexionen. Die Einfallswinkel liegen allerdings überwiegend außerhalb des für Fahrzeugführer relevanten Sichtwinkels und daher sind potentielle Reflexionen zu vernachlässigen. Im Bereich der Ausfahrt/Einmündung auf die Dorfstraße besteht aufgrund des Geländeverlaufes kein Sichtkontakt zur Immissionsquelle. Die südlich der PV Anlage gelegenen Lagerhallen der EDEKA GmbH können nicht von Reflexionen durch die PV Anlage erreicht werden und dementsprechend kann eine Beeinträchtigung von Mitarbeiter im Sinne der LAI Lichtleitlinie durch Reflexionen ausgeschlossen werden. Im weiteren Umfeld sind keine relevanten Gebäude und schutzwürdige Zonen vorhanden.

Es ist davon auszugehen, dass die theoretisch berechneten Reflexionen in der Praxis keine Blendwirkung entwickeln werden. Details zu den Ergebnissen an den jeweiligen Messpunkten finden sich in Abschnitt 4.

Vor dem Hintergrund dieser Ergebnisse sind keine speziellen Sichtschutzmaßnahmen erforderlich bzw. angeraten und es bestehen keine Einwände gegen das Bauvorhaben.

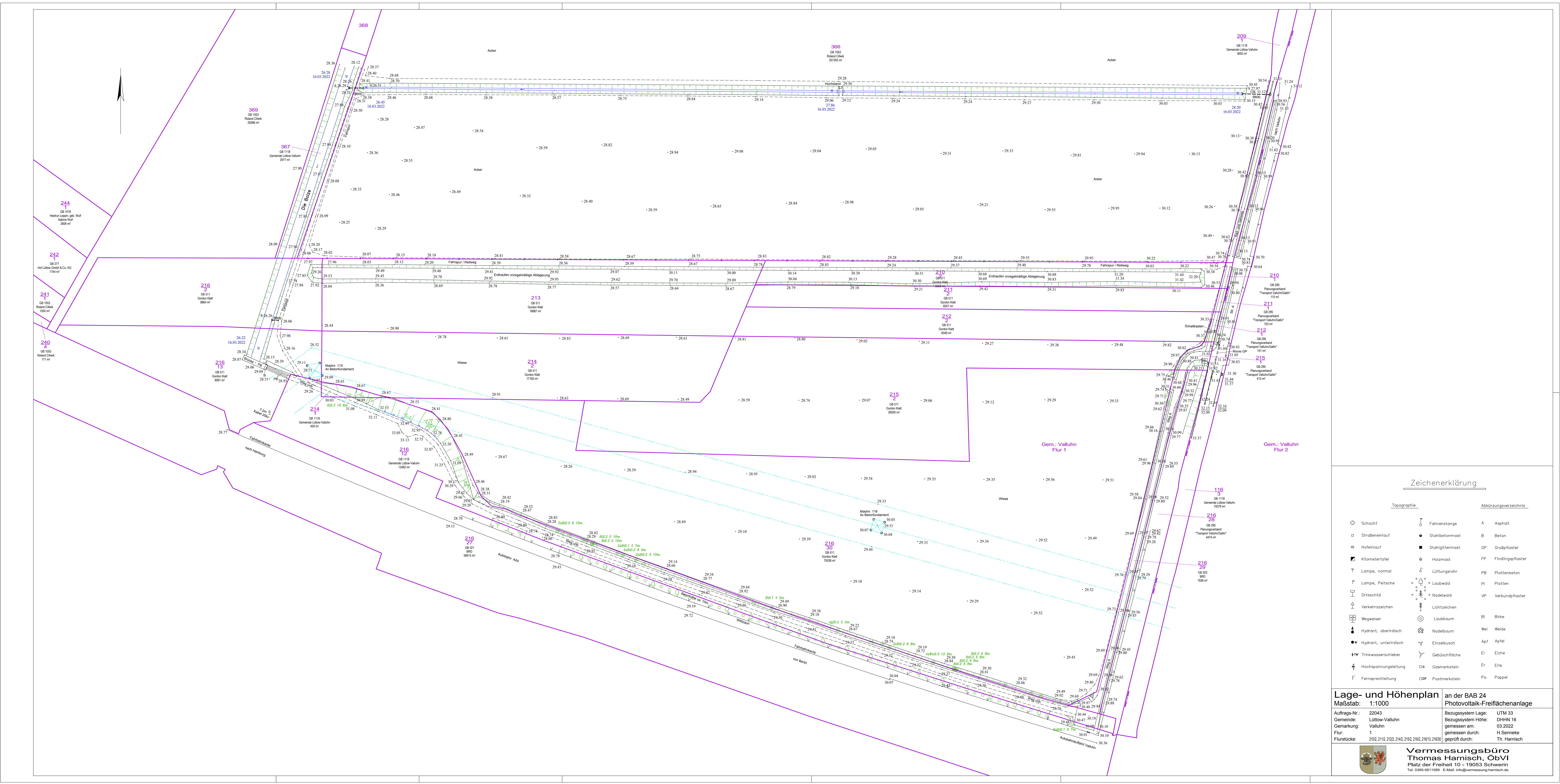
### 6 Schlussbemerkung

Die hier dargestellten Untersuchungen, Sachverhalte und Einschätzungen wurden nach bestem Wissen und Gewissen und anhand von vorgelegten Informationen, eigenen Untersuchungen und weiterführenden Recherchen angefertigt. Eine Haftung für etwaige Schäden, die aus diesen Ausführungen bzw. weiteren Maßnahmen erfolgen, kann nicht übernommen werden.

Hamburg, den 27.05.2022

Dieko Jacobi / SolPEG GmbH

10 Die Klassifizierung entspricht den Wertebereichen der Simulationsergebnisse





PRODUCT: TSM-DE09 08

POWER RANGE: 390-405 W

405 W+

MAXIMUM POWER OUTPUT

0/+5 W

POSITIVE POWER TOLERANCE

21.1 %

MAXIMUM EFFICIENCY





#### Small in size, big on power

- Generates up to 405 W, 21.1 % module efficiency with high density interconnect technology
- Multi-busbar technology for better light trapping, lower series resistance, improved current collection and enhanced reliability
- · Excellent low light performance (IAM) with cell process and module material optimization



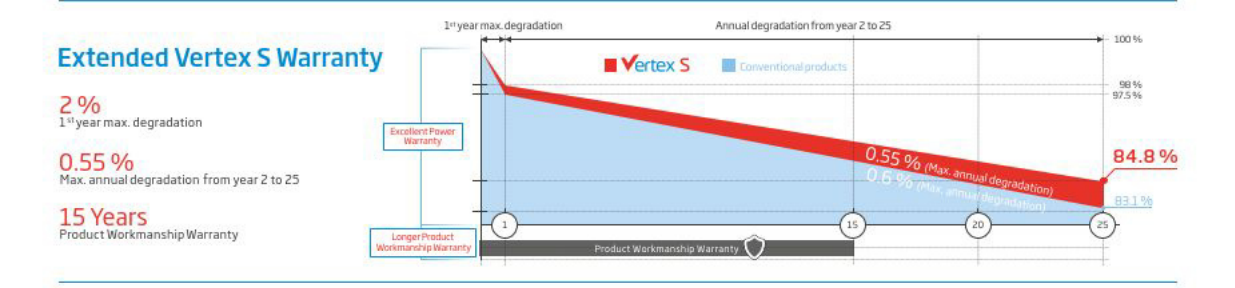
#### Universal solution for residential and C&I rooftops

- Designed for compatibility with existing mainstream inverters, optimizers and mounting systems
- Perfect size and low weight for easy handling. Optimized transportation cost
- Reduces installation cost with higher power bin and efficiency
- · Flexible installation solutions for system deployment



#### **High Reliability**

- . 6,000 Pa snow load (test load)
- . 4,000 Pa wind load (test load)



#### Comprehensive Product and System Certificates







IEC61215/IEC61730/IEC61701/IEC62716 ISO 9001: Quality Management System

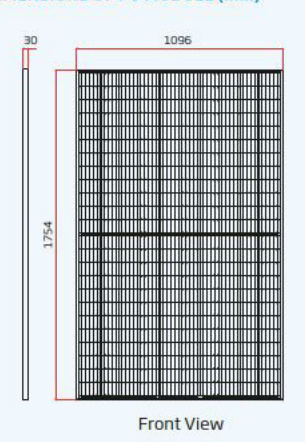
ISO 14001: Environmental Management System

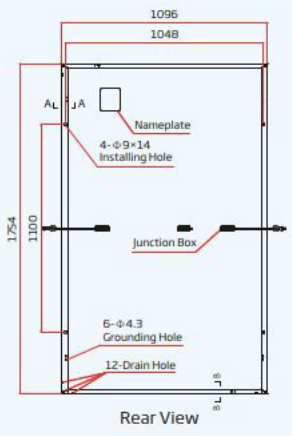
ISO14064: Greenhouse Gases Emissions Verification ISO45001: Occupational Health and Safety Management System

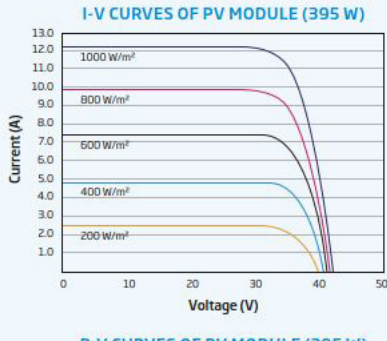


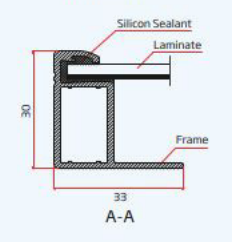


#### DIMENSIONS OF PV MODULE (mm)

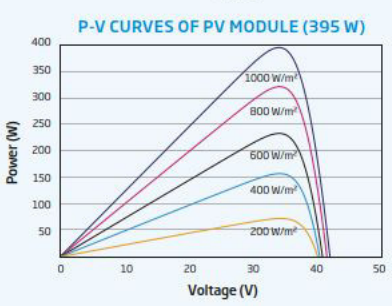












ELECTRICAL DATA (STC)	TSM-390 DE09.08	TSM-395 DE09.08	TSM-400 DE09.08	TSM-405 DE09.08
Peak Power Watts-PMAX (Wp)*	390	395	400	405
Power Tolerance-PMAX (W)	0/+5	0/+5	0/+5	0/+5
Maximum Power Voltage-VMPP (V)	33.8	34.0	34.2	34.4
Maximum Power Current-Impp (A)	11.54	11.62	11.70	11.77
Open Circuit Voltage-Voc (V)	40.8	41.0	41.2	41.4
Short Circuit Current-Isc (A)	12.14	12.21	12.28	12.34
Module Efficiency η m (%)	20.3	20.5	20.8	21.1

STC: Irradiance 1000 W/m², Cell Temperature 25°C, Air Mass AM1.5 \*Measuring tolerance: ±3%

ELECTRICAL DATA (NOCT)	TSM-390 DE09.08	TSM-395 DE09.08	TSM-400 DE09.08	TSM-405 DE09.08
Maximum Power-PMAX (Wp)	295	298	302	306
Maximum Power Voltage-VMP (V)	31.8	32.0	32.2	32.5
Maximum Power Current-IMPP (A)	9.26	9.32	9.38	9.41
Open Circuit Voltage-Voc (V)	38.4	38.6	38.8	38.9
Short Circuit Current-Isc (A)	9.78	9.84	9.90	9.95

NOCT: Irradiance at 800 W/m², Ambient Temperature 20 °C, Wind Speed 1 m/s.

#### MECHANICAL DATA

Solar Cells	Monocrystalline
No. of cells	120 cells
Module Dimensions	1754×1096×30 mm
Weight	21.0 kg
Glass	3.2 mm, High Transmission, AR Coated Heat Strengthened Glass
Encapsulant material	EVA/POE
Backsheet	White
Frame	30 mm Anodized Aluminium Alloy
J-Box	IP 68 rated
Cables	Photovoltaic Technology Cable 4.0 mm² Landscape: 1100/1100 mm Portrait: 280/280 mm*
Connector	TS4/MC4EVOZ*

\*Special order only

#### TEMPERATURE RATINGS

NOCT(Nominal Operating Cell Temperature)	43°C(±2K)
Temperature Coefficient of PMAX	-0.34%/K
Temperature Coefficient of Voc	-0.25%/K
Temperature Coefficient of Isc	0.04%/K

#### WARRANTY

15 year Product Workmanship Warranty 25 year Power Warranty 2% first year Degradation 0.55% Annual Power Degradation

(Please refer to the applicable limited warranty for details)

#### MAXIMUM RATINGS

Operational Temperature	-40 to +85°C
Maximum System Voltage	1500 V DC (IEC)
Max Series Fuse Rating	20 A

#### PACKAGING CONFIGURATION

Modules per box	36 pieces
Modules per 40' container	936 nieres



CAUTION: READ SAFETY AND INSTALLATION INSTRUCTIONS BEFORE USING THE PRODUCT.

© 2021 Trina Solar Limited, All rights reserved, Specifications included in this datasheet are subject to change without notice.

Version number: TSM\_EN\_2021\_A



ForgeSolar

# Valluhn Gallin

### Valluhn

Created May 27, 2022 Updated May 27, 2022 Time-step 1 minute Timezone offset UTC1 Site ID 69763.12353

Project type Advanced Project status: active Category 5 MW to 10 MW



#### Misc. Analysis Settings

DNI: varies (1,000.0 W/m^2 peak) Ocular transmission coefficient: 0.5 Pupil diameter: 0.002 m Eye focal length: 0.017 m Sun subtended angle: 9.3 mrad Analysis Methodologies:

- Observation point: Version 2
- 2-Mile Flight Path: Version 2
- Route: Version 2

# Summary of Results Glare with potential for temporary after-image predicted

PV Name	Tilt	Orientation	"Green" Glare	"Yellow" Glare	Energy Produced
	deg	deg	min	min	kWh
PV Feld	20.0	180.0	0	8,683	-

### **Component Data**

#### PV Array(s)

Total PV footprint area: 136,803 m^2

Name: PV Feld Footprint area: 136,803 m^2

Axis tracking: Fixed (no rotation)

Tilt: 20.0 deg

Orientation: 180.0 deg

Rated power: -

Panel material: Smooth glass with AR coating Vary reflectivity with sun position? Yes Correlate slope error with surface type? Yes Slope error: 8.43 mrad



Vertex	Latitude	Longitude	Ground elevation	Height above ground	Total elevation		
	deg	deg	m	m	m		
1	53.515413	10.830026	29.09	2.00	31.09		
2	53.515770	10.830004	29.03	2.00	31.03		
3	53.515879	10.829447	28.90	2.00	30.90		
4	53.516166	10.829640	28.25	2.00	30.25		
5	53.516478	10.839757	30.74	2.00	32.74		
6	53.516038	10.839671	30.45	2.00	32.45		
7	53.515955	10.839435	30.22	2.00	32.22		
8	53.513582	10.838684	30.03	2.00	32.03		
9	53.514737	10.831614	29.00	2.00	31.00		
10	53.515241	10.831088	29.45	2.00	31.45		

### **Discrete Observation Receptors**

Number	Latitude	Longitude	Ground elevation	Height above ground	Total Elevation
	deg	deg	m	m	m
OP 1	53.513311	10.837976	30.58	2.00	32.58
OP 2	53.514230	10.831764	29.82	2.00	31.82
OP 3	53.514319	10.839564	33.55	2.00	35.55
OP 4	53.512352	10.836688	31.57	2.00	33.57

# **Summary of PV Glare Analysis**

PV configuration and total predicted glare

PV Name	Tilt	Orientation	"Green" Glare	"Yellow" Glare	Energy Produced	Data File
	deg	deg	min	min	kWh	
PV Feld	20.0	180.0	0	8,683	-	

### Distinct glare per month

Excludes overlapping glare from PV array for multiple receptors at matching time(s)

PV	Jan	Feb	Mar	Apr	May	Jun	Jul	Aug	Sep	Oct	Nov	Dec
pv-feld (green)	0	0	0	0	0	0	0	0	0	0	0	0
pv-feld (yellow)	0	0	645	1225	1367	1397	1398	1301	1026	39	0	0

# **PV & Receptor Analysis Results**

Results for each PV array and receptor

### PV Feld potential temporary after-image

Component	Green glare (min)	Yellow glare (min)
OP: OP 1	0	290
OP: OP 2	0	2380
OP: OP 3	0	6013
OP: OP 4	0	0

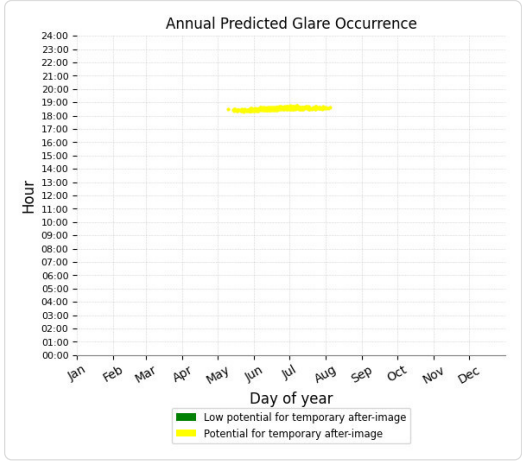
3 von 6

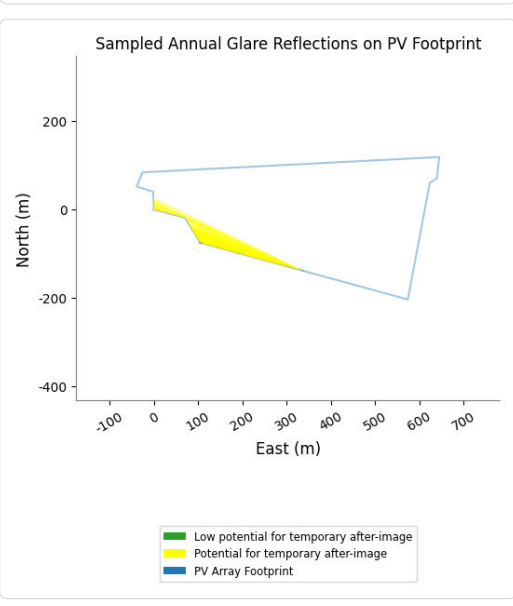
#### PV Feld - OP Receptor (OP 1)

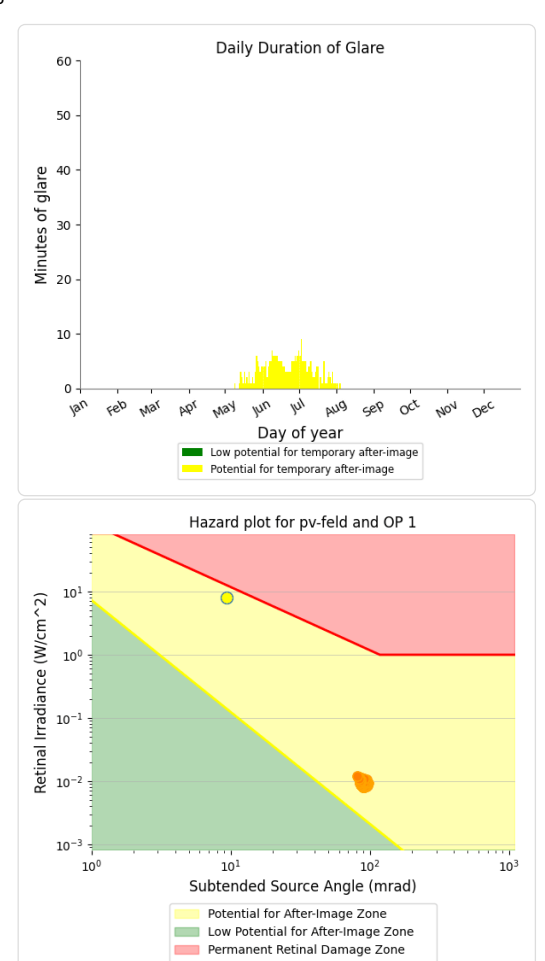
PV array is expected to produce the following glare for receptors at this location:

• 0 minutes of "green" glare with low potential to cause temporary after-image.

• 290 minutes of "yellow" glare with potential to cause temporary after-image.







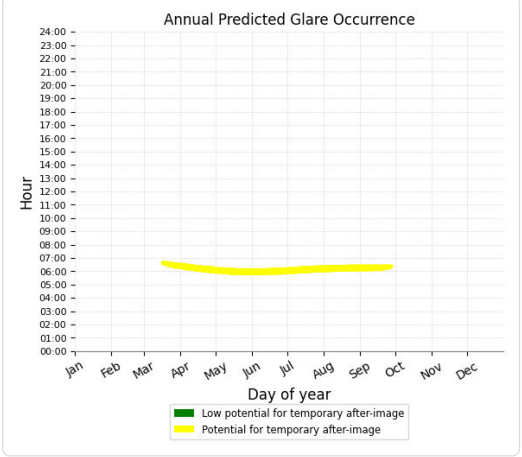
Hazard from Source Data
 Hazard Due to Viewing Unfiltered Sun

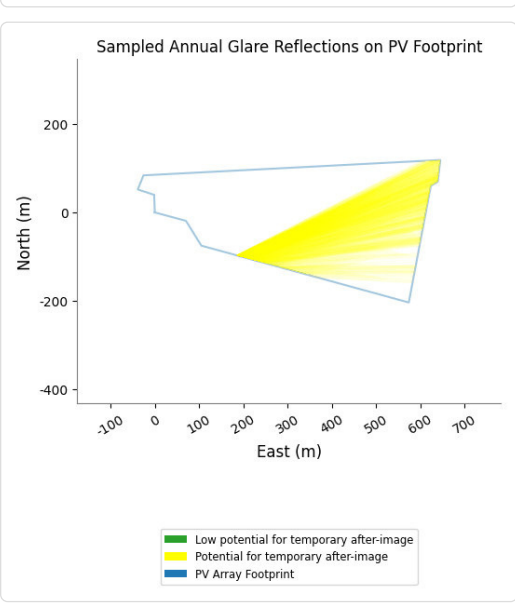
#### PV Feld - OP Receptor (OP 2)

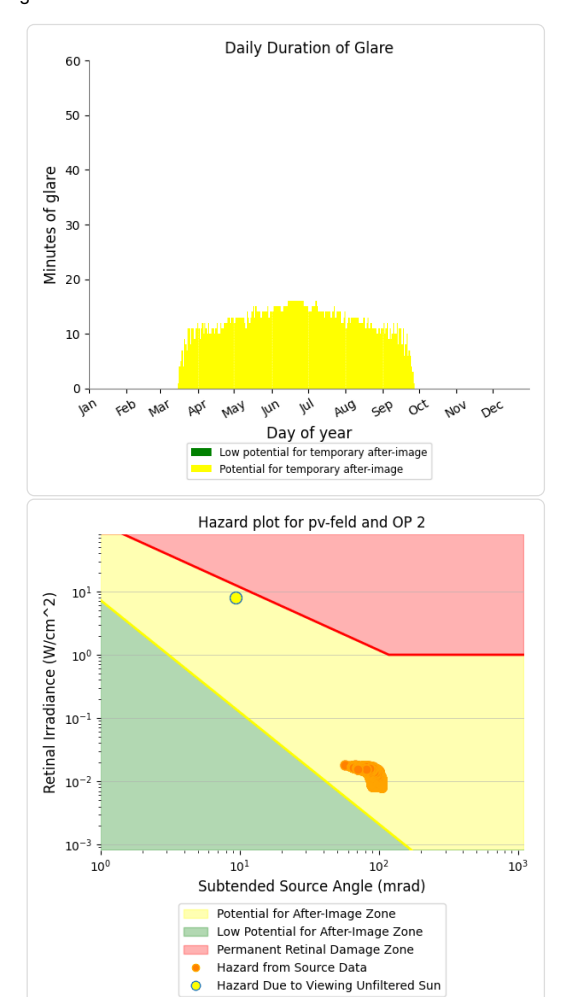
PV array is expected to produce the following glare for receptors at this location:

• 0 minutes of "green" glare with low potential to cause temporary after-image.

• 2,380 minutes of "yellow" glare with potential to cause temporary after-image.



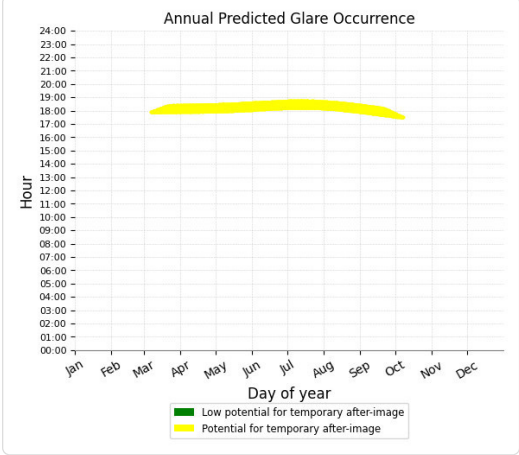


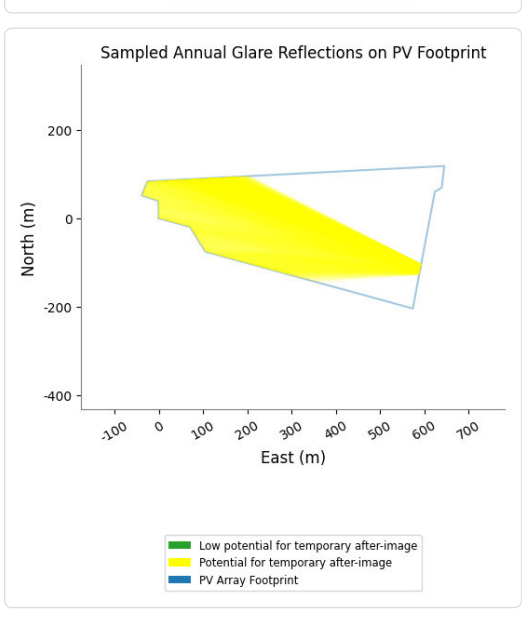


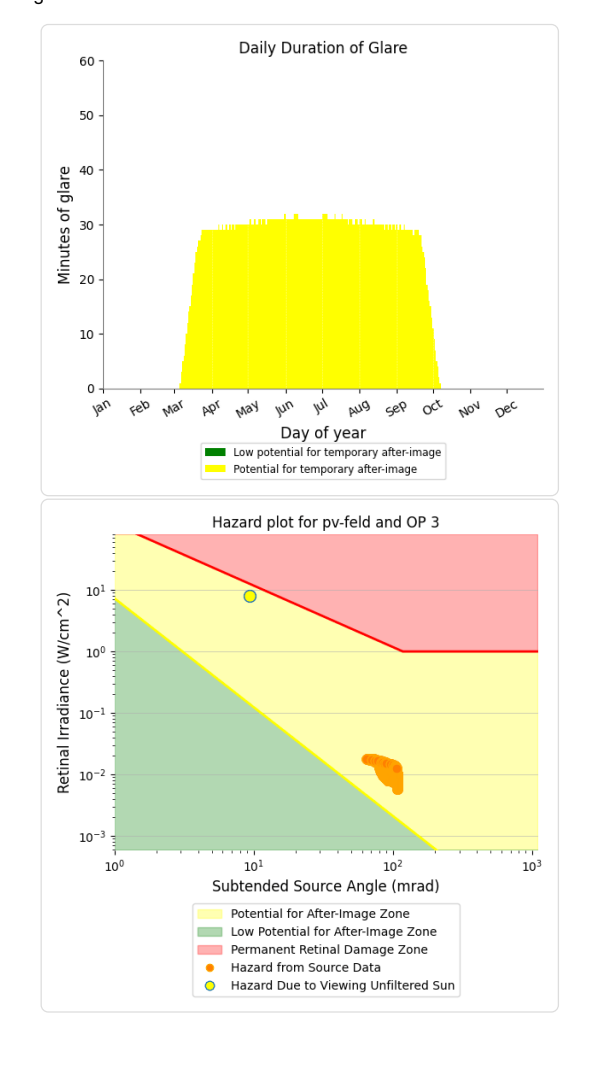
#### PV Feld - OP Receptor (OP 3)

PV array is expected to produce the following glare for receptors at this location:

- 0 minutes of "green" glare with low potential to cause temporary after-image.
- 6,013 minutes of "yellow" glare with potential to cause temporary after-image.







PV Feld - OP Receptor (OP 4)

No glare found

### **Assumptions**

- Times associated with glare are denoted in Standard time. For Daylight Savings, add one hour.
- Glare analyses do not account for physical obstructions between reflectors and receptors. This includes buildings, tree cover and geographic obstructions.
- Detailed system geometry is not rigorously simulated.
- The glare hazard determination relies on several approximations including observer eye characteristics, angle of view, and typical blink response time. Actual values and results may vary.
- The system output calculation is a DNI-based approximation that assumes clear, sunny skies year-round. It should not be used in place of more rigorous modeling methods.
- Several V1 calculations utilize the PV array centroid, rather than the actual glare spot location, due to algorithm limitations. This may affect results for large PV footprints. Additional analyses of array sub-sections can provide additional information on expected glare.
- The subtended source angle (glare spot size) is constrained by the PV array footprint size. Partitioning large arrays into smaller sections will reduce the maximum potential subtended angle, potentially impacting results if actual glare spots are larger than the sub-array size. Additional analyses of the combined area of adjacent sub-arrays can provide more information on potential glare hazards. (See previous point on related limitations.)
- Hazard zone boundaries shown in the Glare Hazard plot are an approximation and visual aid. Actual ocular impact outcomes encompass a continuous, not discrete, spectrum.
- Glare locations displayed on receptor plots are approximate. Actual glare-spot locations may differ.
- Glare vector plots are simplified representations of analysis data. Actual glare emanations and results may differ.
- Refer to the **Help page** for detailed assumptions and limitations not listed here.

	Corneal	DNI	Ocular	Reflectivity		Subtended	Sun	Sun	Sun	Sun	Sun	Reflected		Reflected Sie	(6	Anzahl	36006	5259027	Zeitraum	Zeitraum	Minuten	Minuten i	m	-2-1000/02/00	News Company	2005 8000 5000
	Irradiance	(W/m^2)	Hazard #	- 22	Irradiance	Glare Angle	Altitude	Azimuth	Position	Position	Position	Sun Vector	Sun Vector S	un Vector u	Tag	Minuten	Anfang	Ende	Start	Ende	pro Tag	Zeitraum	E	rste Zeit	Letzte Zeit	Messpunkt OP 1
2022-05-09 18:28:00	0,013347	684,2568	2	0,310338	0,012044	0,081591	11,6	283,4	-0,953	0,227	0,201	0,953	-0,303	0,009	9. Mai.	1	18:28	18:28	27.05.2022	28.05.2022	100	6	11	18:21	18:32	
2022-05-13 18:25:00	0,012515	697,561	2	0,274364	0,010855	0,084324	12,9	283,4	-0,948	0,227	0,223	0,948	-0,317	0,025	13. Mai.	1	18:25	18:25	04.06.2022	04.06.2022		5	5	18:23	18:31	
2022-05-14 18:23:00	0,011926	701,8255	2	0,259389	0,010325	0,084447	13,4	283,2	-0,947	0,222	0,231	0,947	-0,319	0,034	14. Mai.	3	18:23	18:29	07.06.2022			7	61	18:25	18:39	
2022-05-14 18:25:00	0,012347	698,7683	2	0,270485	0,01072	0,084256	13,1	283,6	-0,947	0,229	0,226	0,947	-0,321	0,026	15. Mai.	2	18:25	18:29		07.07.2022	- 9	9	74	18:28	18:44	
	0,013162			0,294069			12,5	284,4	-0,946	0,242	0,216	0,946	-0,325	0,01	16. Mai.	1	18:20	18:20		11.07.2022	- 0	5	5	18:30	18:38	
	0,012395			0,266747			13,3	283,8	-0,945	0,231	0,23	0,945	-0,325	0,027	17. Mai.	. 3	18:21	18:26	22.07.2022	22.07.2022		5	5	18:30	18:41	
	0,013774			0,289978			12,7	284,5	-0,944	0,245	0,22	0,944	-0,329	0,011	18. Mai.	1	18:26	18:26				-	~			
7	0,011131			0,237013			14,2	282,9	-0,945	0,217	0,245	0,945	-0,324	0,048	19. Mai.	. 2	18:24	18:26							m Messpunk	
And the Control of th	0,011273			0,238865	and the state of the state of	0,085359	14,2	283,3	-0,943	0,223	0,246	0,943	-0,328	0,045	20. Mai.	1	18:20	18:20							o Jahr (Sumr	NO # 7 TO 10 M
	0,011911			0,254319			13,8	283,9	-0,943	0,233	0,238	0,943	-0,331	0,033	21. Mai.	3	18:20	18:30								chtschutz durch Blattwerk (Juni-September)
	0,012318			0,265154	15500000000000		13,5	284,2	-0,942	0,239	0,233	0,942	-0,333	0,025	22. Mai.	1	18:19	18:19								Sichtschutz durch Blattwerk (Oktober-Mai)
	0,012248			0,261744			13,7	284,4	-0,941	0,241	0,236	0,941	-0,337	0,026	23. Mai.	1	18:28	18:28					9 (VI	inuten pr	o Tag (Max)	
	0,011875			0,247926			14,1	284,1	-0,94	0,237	0,244	0,94	-0,339	0,035	24. Mai.	- 2	18:23	18:26							for British Bri	
	0,012844			0,258465			13,9 14,9	284,5 283,5	-0,94 -0.94	0,243	0,239	0,94	-0,34 -0.338	0,027	25. Mai. 26. Mai.	1	18:22	18:22								reinigung (Datensatz mit 291 Einträgen): 6:00 - 22:00 Uhr (bzw. Sonnenuntergang)
	0,010839					0.085956	15,1	283,5	-0,94	0,226	0,257	0,938	-0,338	0,052	25. Mai. 27. Mai.		18:22	18:27								orizont ist min. 10° (Standard: min. 10°)
And the constitution of the control	0.011716			0,222003		Contract of the Contract of th	14,5	284,4	-0,938	0,228	0,25	0,938	-0,341	0,033	28. Mai.	5	18:21	18:32								ist min. 5 Minuten pro Tag (Standard: min. 5 Minuten)
	0,011716			0,274093			13,6	285,6	-0,936	0,241	0,235	0,936	-0,343	0,013	29. Mai.	4	18:23	18:32				_	3	. Dauer us	er Neriekiuri	ist min. 3 Minuten pro rag (standard, min. 3 Minuten)
	0.010414			0,215611			15,4	283,6	-0,937	0,226	0,265	0,937	-0,344	0,013	30. Mai.	3	18:23	18:27								
	0,012522			0,251761			14,4	285,2	-0,935	0,255	0,248	0,935	-0,354	0,026	31. Mai.	4	18:23	18:28								
	0.011216			0,224529	0.00918		15,2	284,4	-0.935	0,24	0,263	0,935	-0.353	0.047	1. Jun.	4	18:23	18:33						D-4	AL-II- D	-flevier -
	0,011682				0,009711		14,8	285	-0,934	0,25	0,256	0,934	-0,356	0,035	2. Jun.	4	18:23	18:31								eflexionen
	0,010823			0,217635			15,5	284,3	-0,934	0,238	0,268	0,934	-0,355	0,052	3. Jun.	4	18:23	18:31						M	lax. Minuter	n pro Tag
	0.010686			0.215456			15,7	284,4	-0.932	0.24	0.27	0.932	-0.358	0.052	4, Jun.	5	18:23	18:31		30						
2022-05-26 18:26:00	0,011436	719,0508	2	0,234057	0,009546	0,086921	15,1	285,2	-0,932	0,253	0,26	0,932	-0,361	0,037	5. Jun.	2	18:31	18:37								
2022-05-26 18:27:00	0,011756	717,6164	2	0,238944	0,009725	0,087516	14,9	285,4	-0,931	0,257	0,258	0,931	-0,362	0,033	6. Jun.	4	18:25	18:37		25						
2022-05-27 18:21:00	0,010351	728,4648	2	0,208999	0,008635	0,086957	15,9	284,4	-0,931	0,239	0,275	0,931	-0,359	0,057	7. Jun.	5	18:26	18:38								
2022-05-27 18:22:00	0,01122	727,0565	2	0,213376	0,008799	0,091032	15,8	284,6	-0,931	0,242	0,272	0,931	-0,36	0,053	8. Jun.	5	18:26	18:35		20						
2022-05-27 18:23:00	0,01085	725,6452	2	0,21784	0,008966	0,087592	15,7	284,7	-0,931	0,245	0,27	0,931	-0,361	0,049	9. Jun.	7	18:26	18:36		200						
2022-05-27 18:26:00	0,012093	721,3928	2	0,23178	0,009484	0,091036	15,2	285,3	-0,931	0,255	0,263	0,931	-0,364	0,037	10. Jun.	6	18:25	18:35		15						
	0,011396		2	0,236614	0,009662	0,085865	15,1	285,5	-0,93	0,258	0,26	0,93	-0,365	0,033	11. Jun.	6	18:25	18:35								
2022-05-27 18:29:00	0,011992	717,1131	2	0,246575	0,010029	0,086791	14,8	285,9	-0,93	0,265	0,255	0,93	-0,367	0,026	12. Jun.	6	18:26	18:39		10						
	0,010286	729,685				0,087049	16,1	284,5	-0,93	0,24	0,277	0,93	-0,362	0,058	13. Jun.	6	18:26	18:39								
		726,8765	2		0,008897	0,09105	15,8	284,9	-0,93	0,247	0,272	0,93	-0,364	0,05	14. Jun.	5	18:26	18:39		5		-	-	11	Himi	
	0,011004			0,229607		0,08528	15,4	285,4	-0,93	0,256	0,265	0,93		0,038	15. Jun.	5	18:26	18:37			1.1.1	1111	mil	.11111	IIIII III	million the state of the state
	0,011881			0,24425		0,086685	14,9	286	-0,929	0,266	0,258	0,929	-0,37	0,026	16. Jun.	5	18:26	18:37		0	برارايلار	ndell	Ш	ЩЩ		
	0,012364			0,259789		100000000000000000000000000000000000000	14,5	286,6	-0,928	0,276	0,25	0,928	-0,372	0,014	17. Jun.	5	18:27	18:38		5 -	E 5 C 6 +	25 27 29 29				*****************
	0,010574		2	0,213876			15,9	285	-0,929	0,248	0,274	0,929	-0,366	0,051	18. Jun.	4	18:27	18:38 18:39		2 "		NNNN		222	22222	
	0,011528	726,708	2	0,21834	0,008999		15,8	285,1 286,1	-0,929 -0.928	0,251	0,272	0,929	-0,367 -0,372	0,047	19. Jun. 20. Jun.	4	18:27 18:27	18:39		01				- 2 4	2448	2222
	early concentration the	715,3728	2		0,009879		15,1 14,6	286,7	-0,928	0,268	0,253	0,928	-0,372	0,027	20. Jun. 21. Jun.	3	18:27	18:39								
The second secon	0.010624		-7			0.087651	14,6	285,1	-0,927	0,278	0,255	0,927	-0,375	0,015	21. Jun. 22. Jun.	3	18:28	18:40								
	0,010624			0,212037		0.08674	15,9	285,2	-0,928	0,253	0,274	0,928	-0,309	0.047	23. Jun.	3	18:28	18:40								
	0,011421	723,74			0,0009452		15,5	285,8	-0,928	0,263	0,267	0,927	-0,373	0,047	24. Jun.	3	18:28	18:39								
	0,011175				0,009432		16,2	285,2	-0,927	0,251	0,287	0,927	-0,373	0,053	25. Jun.	5	18:28	18:39								
	0,010508			0,214673			16	285,3	-0,927	0,254	0,276	0,927	-0,372	0,048	26. Jun.	5	18:29	18:40								
	0,011519			0,228351	0.00939		15,6	285,9	-0,926	0.264	0,269	0,926	-0.375	0.036	27. Jun.	5	18:29	18:40								
	0.011473			0,233094			15,4	286,1	-0.926	0,267	0,266	0,926	-0,376	0.032	28. Jun.	. 6	18:29	18:42								
2022-06-01 18:23:00		731,8324		0,204377			16,4	285,1	-0,926	0,249	0,282	0,926		0,056	29. Jun.	GmbH T Copy	18:29	18:42	mout written noct	ce prohibited						
2022-00-01 18:23:00	0,0102	191,6324	- 2	0,2043//	0,000403	0,06/159	10,4	1,002	70,320	0,249	0,202	0,920	-0,3/2	0,000	25. Jun.		10:23	19:45								

	Corneal	DNI	Ocular	Reflectivity		Subtended	Sun	Sun	Sun	Sun	Sun	Reflected	Reflected I	Reflected Sie	(4	Anzahl	201.011	+290457	Zeitraum	Zeitraum	Minuten	Minuter	n im	elseverateen o	vacor occur	A. MAN MICHAELE
	Irradiance	(W/m^2)	Hazard #	- 2	Irradiance	Glare Angle	Altitude	Azimuth	Position	Position	Position	Sun Vector	Sun Vector S	un Vector u	Tag	Minuten	Anfang	Ende	Start	Ende	pro Tag	Zeitraur	m	Erste Zeit	Letzte Zeit	t Messpunkt OP 2
2022-03-16 06:42:00	0,015669	545,07	2	0,504406	0,015594	0,074603	0,3	94,5	0,997	-0,078	0,005	-0,997	0,056	0,054	16. Mrz.	1	06:42	06:42	18.03.2022	19.03.2022		7	12	06:34	06:40	)
2022-03-17 06:37:00	0,01523	540,9153	2	0,537775	0,016499	0,06826	0	93,4	0,998	-0,059	0	-0,998	0,045	0,038	17. Mrz.	4	06:37	06:40	21.03.2022	24.09.2022	1 1	15	2034	06:00	06:38	3
2022-03-17 06:38:00	0,018002	543,323	2	0,526141	0,016214	0,081724	0,2	93,6	0,998	-0,063	0,003	-0,998	0,046	0,043	18. Mrz.	5	06:35	06:40								
	0,015039		2	0,51476	0,015933	0,06995	0,3	93,8	0,998	-0,066	0,005	-0,998	0,047	0,047	19. Mrz.	7	06:34	06:40				Potenti	elle Ref	flexionen a	ım Messpun	ikt OP 2:
2022-03-17 06:40:00	0,016194		2	0,503627	0,015657	0,076703	0,5	94	0,998	-0,07	0,008	-0,998	0,048	0,051	20. Mrz.	4	06:34	06:38								nme gesamt)
2022-03-18 06:35:00		541,6182		0,548836	0,01686	0,06453	0	92,8	0,999	-0,048	0,001	-0,999	0,037	0,032	21. Mrz.	9	06:29	06:38								Sichtschutz durch Blattwerk (Juni-September)
	0,016257			0,536956		0,072851	0,2	93	0,999	-0,052	0,003	-0,999	0,038	0,036	22. Mrz.	8	06:29	06:37								e Sichtschutz durch Blattwerk (Oktober-Mai)
2022-03-18 06:37:00		546,3993		0,525335		0,070503	0,3	93,2	0,998	-0,055	0,006	-0,998	0,039	0,04	23. Mrz.	7	06:27	06:36					15 /	Minuten p	ro Tag (Max	l .
Annual telephone to the control of t	0,015156				0,015998	0,070234	0,5	93,4	0,998	-0,059	0,008	-0,998	0,04	0,044	24. Mrz.	11	06:26	06:36								
	0,015275			0,491967			0,8	93,8	0,998	-0,066	0,014	-0,998	0,042	0,053	25. Mrz.	11	06:24	06:35								ereinigung (Datensatz mit 2381 Einträgen):
	0,016733		2	-		0,073386	0,2	92,3	0,999	-0,041	0,004	-0,999	0,029	0,029	26. Mrz.	8	06:23	06:34								06:00 - 22:00 Uhr (bzw. Sonnenuntergang)
	0,016296			0,536135			0,4	92,5	0,999	-0,044	0,006	-0,999	0,03	0,033	27. Mrz.	11	06:22	06:34								Horizont ist min. 10" (Standard: min. 10")
	0,016633				0,016346		0,5	92,7	0,999	-0,048	0,009	-0,999	0,031	0,037	28. Mrz.	11	06:22	06:33					3	3.: Dauer d	ter Reflexion	n ist min. 5 Minuten pro Tag (Standard: min. 5 Minuten)
	0,017493			0,513172		0,080381	0,7	92,9	0,999	-0,051	0,012	-0,999	0,032	0,042	29. Mrz.	9	06:21	06:33								
	0,015509			0,502063			0,8	93,1	0,998	-0,055	0,014	-0,998	0,033	0,046	30. Mrz.	9	06:20	06:31								
And the control has been been about the control and the factor of	0,015336				0,015505		1	93,3	0,998	-0,058	0,017	-0,998	0,034	0,05	31. Mrz.	11	06:20	06:31			-			Hannon V	100000000000000000000000000000000000000	
	0,017404			0,480567			1,1	93,5	0,998	-0,062	0,019	-0,998	0,035	0,054	1. Apr.	12	06:19	06:31						Poter	ntielle R	Reflexionen
2022-03-20 06:34:00 2022-03-20 06:35:00		550,1048 552,455		0,523718	0,01634	0,069493	0,7	92,3 92,5	0,999	-0,04	0,012	-0,999 -0,999	0,023	0,035	2. Apr.	11	06:18 06:17	06:29						N	Aax. Minute	en pro Tag
	0,0157			0,512377					0,999	-0,043	0,015	-0,999	0,024	0,039	3. Apr.	11	06:17	06:29		30				- 33		
	0.015524			0,490429			1,1	92,9 93,1	0,998	-0,05	0,022	-0,999	0,026	0,048	4. Apr.	12	06:17	06:29								_
	0,015524			0,479811		0,06112	1,3 0,3	93,1	0,998	-0,018	0,022	-0,998	0,027	0,052	5. Apr. 6. Apr.	10	06:15	06:27		25						
	0,014829		2	0,558423		0.065655	0,4	91,2	- :	-0,022	0,007	-1	0,012	0,013	7. Apr.	12	06:14	06:27	_							
	0.015605		2	0,556425		0.067862	0,6	91,2	- 1	-0,022	0,007	-1		0,024	8. Apr.	11	06:14	06:25		20						
	0.015664		2			0.069492	0,7	91,6		-0,029	0,012	-1	0.014	0,024	9. Apr.	10	06:12	06:25		10000						
	0,015701			0,522912	Commence of the		0,9	91,8	0,999	-0,029	0,012	-0,999	0,014	0,028	10. Apr.	12	06:12	06:25		15						
	0,015775			0,522512			1	92	0,999	-0,032	0,018	-0,999	0,015	0,032	11. Apr.	10	06:12	06:24								and the state of t
	0,015819			0,500505		0,07418	1,2	92,3	0,999	-0,039	0,02	-0.999	0,017	0,041	12. Apr.	10	06:10	06:23		100	on dollar	-1 600				
	0.016529			0,489665			1,3	92,5	0,999	-0,043	0.023	-0.999	0.018	0.045	13. Apr.	11	06:10	06:22		10	i di di				1111	
	0,015904					0.078422	1,6	92,9	0,998	-0,05	0,028	-0.998	0.02	0,053	14. Apr.	11	06:09	06:22		1						
	0,018391			0,557572		0,0781	0,6	90,8	1	-0,014	0,01	-1	0,004	0,017	15. Apr.	10	06:08	06:21		5						
2022-03-22 06:30:00		553,7119	2		0,017131	0,069483	0,7	91	1	-0,018	0,013	-1	0,005	0,021	16. Apr.	11	06:08	06:20								
	0,018768		2		0,016534		1	91,4	1	-0,025	0,018	-1	0.007	0,03	17. Apr.	12	06:07	06:20		0 1111	77777	********	*****	1111111111	77********	***************************************
	0,015729			0,510799		0,071873	1,2	91,6	0,999	-0,028	0,021	-0,999	0,008	0,034	18. Apr.	10	06:08	06:20		VINETY .	reem state	***********	22222	est or mit o	¥55555555	555555
2022-03-22 06:34:00	0,016443	562,9298	2	0,499733	0,015956	0,076441	1,3	91,8	0,999	-0,032	0,023	-0,999	0,009	0,038	19. Apr.	10	06:06	06:18			-mit-or	nytanyty	mirio		~************	CONTRACTOR DESCRIPTION OF THE PROPERTY OF THE
2022-03-22 06:35:00	0,018079	565,2235	2	0,488907	0,015674	0,084356	1,5	92	0,999	-0,035	0,026	-0,999	0,01	0,042	20. Apr.	12	06:05	06:18								
2022-03-22 06:36:00	0,015597	567,5128	2	0,478317	0,015396	0,075198	1,6	92,2	0,999	-0,039	0,029	-0,999	0,011	0,047	21. Apr.	11	06:06	06:18								
2022-03-22 06:37:00	0,015958	569,7978	2	0,467957	0,015123	0,078137	1,8	92,4	0,999	-0,042	0,031	-0,999	0,012	0,051	22. Apr.	11	06:05	06:17								
2022-03-23 06:27:00	0,018355	552,0545	2	0,556726	0,017432	0,077987	0,8	90,4	1	-0,006	0,013	-1	-0,004	0,014	23. Арг.	12	06:04	06:17								
2022-03-23 06:31:00	0,015873	561,2339	2	0,510019	0,016235	0,072584	1,4	91,2	1	-0,02	0,024	-1	0	0,031	24. Apr.	12	06:03	06:16								
2022-03-23 06:32:00	0,015798	563,5181	2	0,498969	0,015948	0,073554	1,5	91,4	0,999	-0,024	0,026	-0,999	0,001	0,036	25. Apr.	12	06:03	06:16								
2022-03-23 06:33:00	0,016468	565,798	2	0,488158	0,015665	0,077867	1,7	91,6	0,999	-0,027	0,029	-0,999	0,002	0,04	26. Apr.	13	06:02	06:15								
2022-03-23 06:34:00	0,015623	568,0736	2	0,477582	0,015388	0,075358	1,8	91,8	0,999	-0,031	0,032	-0,999	0,003	0,044	27. Apr.	13	06:02	06:15								
2022-03-23 06:35:00	0,018247	570,3449	2	0,467236	0,015115	0,08743	2	92	0,999	-0,034	0,034	-0,999	0,004	0,048	28. Apr.	12	06:02	06:15								
2022-03-23 06:36:00	0,015568	572,6118	2	0,457114	0,014846	0,077691	2,1	92,2	0,999	-0,038	0,037	-0,999	0,005	0,053	29. Apr.	13	06:00	06:13								
2022-03-24 06:26:00	0,015566	554,9972	2	0,555886	0,017498	0,065413	0,9	89,9	1	0,001	0,017	-1	-0,012	0,012	30. Apr.	13	06:00	06:13								
2022-03-24 06:27:00	0,016226	557,2804	2	0,543841	0,01719	0,069958	1,1	90,1	1	-0,002	0,019	-1	-0,011	0,016	1. Mai.	12	06:00	06:13								
2022-03-24 06:28:00	0,016071	559,5594	2	0,532057	0,016886	0,070576	1,2	90,3	© Copyright	-0,006	0,022	eference: 20	220529 0,01	0,02	2. Mai.	GmbH I Copy	06:00	06:12	hout written noch							
2022-03-24 06:29:00	0,015929	561,8342	2	0,520529	0,016587	0,07125	1,4	90,5	1	-0,009	0,024	-1	-0,009	0,025	3. Mai.	12	06:00	06:12	100							

	Corneal	DNI	Ocular	Reflectivity		Subtended	Sun	Sun	Sun	Sun	Sun	Reflected	Reflected	Reflected Sie	(4	Anzahl	200000	-decert	Zeitraum	Zeitraum	Minuten	Minuten im	w.sommer		PAGE RECEIPED							
	Irradiance	(W/m^2)	Hazard #	- 22	Irradiance	Glare Angle	Altitude	Azimuth	Position	Position	Position	Sun Vector	Sun Vector S	un Vector u	Tag	Minuten	Anfang	Ende	Start	Ende	pro Tag	Zeitraum	Erste Z	Zeit Letzte Zei	t Messpunkt OP 3							
2022-03-06 17:54:00	0,020334	539,2786	2	0,412095	0,012605	0,105442	0	259,2	-0,982	-0,188	0,001	0,982	0,143	0,121	6. Mrz.	1	17:54	17:54	08.03.2022	04.10.2022	3	2 6002	2 17:	:32 18:44	4							
2022-03-07 17:54:00	0,020105	543,8502	2	0,402694	0,012422	0,105634	0,3	259,4	-0,983	-0,184	0,006	0,983	0,137	0,123	7. Mrz.	3	17:54	17:56														
2022-03-07 17:55:00	0,020356	541,2813	2	0,411482	0,012633	0,105376	0,2	259,6	-0,984	-0,18	0,004	0,984	0,136	0,119	8. Mrz.	5	17:54	17:58				Potentielle R	Reflexione	en am Messpur	nkt OP 3:							
2022-03-07 17:56:00	0,020595	538,7074	2	0,420466	0,012847	0,105079	0,1	259,8	-0,984	-0,177	0,001	0,984	0,135	0,114	9. Mrz.	6	17:54	17:59				6002	2 Minuter	n pro Jahr (Sun	nme gesamt)	X 0						
2022-03-08 17:54:00	0,019867	548,3295	2	0,393472	0,012237	0,10581	0,7	259,6	-0,984	-0,18	0,012	0,984	0,13	0,124	10. Mrz.	8	17:54	18:01				3615 Minuten pro Jahr mit Sichtschutz durch Blattwerk (Juni-September)										
2022-03-08 17:55:00	0,020124	545,7852	2	0,402067	0,012446	0,105574	0,5	259,8	-0,984	-0,176	0,009	0,984	0,129	0,12	11. Mrz.	10	17:55	18:04				2387	7 Minuter	n pro Jahr ohne	e Sichtschutz durch Blattwerk (Oktober-f	Aai)						
2022-03-08 17:56:00	0,020372	543,2358	2	0,410854	0,012659	0,105303	0,4	260	-0,985	-0,173	0,007	0,985	0,128	0,116	12. Mrz.	12	17:55	18:06				32	2 Minuter	n pro Tag (Max	1	2000						
2022-03-08 17:57:00	0,020607	540,6813	2	0,419836	0,012875	0,104988	0,2	260,2	-0,986	-0,169	0,004	0,986	0,127	0,112	13. Mrz.	14	17:54	18:07								Venez						
2022-03-08 17:58:00	0,020825	538,1219	2	0,429018	0,013094	0,104617	0,1	260,5	-0,986	-0,166	0,001	0,986	0,126	0,108	14. Mrz.	15	17:55	18:09					Paramet	ter für Daten B	lereinigung (Datensatz mit 6014 Einträge	n):						
2022-03-09 17:54:00	0,019975	552,7196	2	0,392834	0,012315	0,105756	0,8	260,1	-0,985	-0,172	0,015	0,985	0,123	0,122	15. Mrz.	17	17:55	18:11					1.: Zeitr	raum zwischen	06:00 - 22:00 Uhr (bzw. Sonnenuntergan	g)						
2022-03-09 17:55:00	0,020231	550,1994	2	0,401427	0,012527	0,105507	0,7	260,3	-0,986	-0,169	0,012	0,986	0,122	0,118	16. Mrz.	19	17:55	18:13					2.: Sonn	nenstand über	Horizont ist min. 10" (Standard: min. 10"	i e						
2022-03-09 17:56:00	0,020477	547,6741	2	0,410211	0,012742	0,10522	0,5	260,5	-0,986	-0,165	0,009	0,986	0,121	0,114	17. Mrz.	21	17:55	18:15					3.: Daue	er der Reflexion	n ist min. 5 Minuten pro Tag (Standard: n	nin. 5 Minuten)						
2022-03-09 17:57:00	0,020709	545,1438	2	0,41919	0,012961	0,104885	0,4	260,7	-0,987	-0,162	0,007	0,987	0,12	0,109	18. Mrz.	23	17:55	18:17														
2022-03-09 17:58:00	0,020921	542,6086	2	0,42837	0,013183	0,104489	0,3	260,9	-0,987	-0,158	0,004	0,987	0,119	0,105	19. Mrz.	25	17:55	18:19														
	0,021106		2	0,437754	0,013409	0,104013	0,1	261,1	-0,988	-0,155	0,002	0,988	0,118	0,101	20. Mrz.	26	17:55	18:20														
2022-03-10 17:54:00	0,019724	557,0232	2	0,383783	0,012125	0,105923	1,2	260,3	-0,986	-0,168	0,02	0,986	0,116	0,124	21. Mrz.	27	17:55	18:21					Pot	entielle F	Reflexionen							
2022-03-10 17:55:00	0,019986	554,5268	2	0,392186	0,012335	0,105694	1	260,5	-0,986	-0,165	0,018	0,986	0,115	0,119	22. Mrz.	27	17:56	18:22														
2022-03-10 17:56:00	0,020239	552,0253	2	0,400775	0,012548	0,105432	0,9	260,7	-0,987	-0,161	0,015	0,987	0,114	0,115	23. Mrz.	28	17:55	18:22		35				Max. Minute	en pro rag							
2022-03-10 17:57:00	0,020481	549,5188	2	0,409556	0,012765	0,105128	0,7	260,9	-0,987	-0,158	0,012	0,987	0,113	0,111	24. Mrz.	29	17:55	18:23														
2022-03-10 17:58:00	0,020706	547,0074	2	0,418532	0,012985	0,104769	0,6	261,1	-0,988	-0,154	0,01	0,988	0,112	0,107	25. Mrz.	29	17:56	18:24		30			10000	annadu all lun								
2022-03-10 17:59:00	0,020908	544,491	2	0,427709	0,013209	0,104342	0,4	261,3	-0,989	-0,151	0,007	0,989	0,111	0,103	26. Mrz.	29	17:55	18:23		10000												
2022-03-10 18:00:00	0,02108	541,9697	2	0,437089	0,013436	0,103825	0,3	261,5	-0,989	-0,147	0,005	0,989	0,11	0,098	27. Mrz.	29	17:55	18:23		25												
2022-03-10 18:01:00	0,02121	539,4436	2	0,446679	0,013667	0,103185	0,1	261,7	-0,99	-0,144	0,002	0,99	0,109	0,094	28. Mrz.	29	17:56	18:24		500												
2022-03-11 17:55:00	0,019818	561,1813	2	0,383131	0,012195	0,105867	1,3	260,7	-0,987	-0,161	0,023	0,987	0,108	0,121	29. Mrz.	29	17:56	18:24		20												
2022-03-11 17:56:00	0,02008	558,7155	2	0,391529	0,012407	0,105626	1,2	260,9	-0,987	-0,157	0,021	0,987	0,107	0,117	30. Mrz.	29	17:55	18:23		88												
2022-03-11 17:57:00	0,020331	556,2447	2	0,400114	0,012623	0,105348	1	261,1	-0,988	-0,154	0,018	0,988	0,106	0,113	31. Mrz.	29	17:56	18:24		15												
2022-03-11 17:58:00	0,020569	553,769	2	0,408891	0,012843	0,105023	0,9	261,3	-0,989	-0,15	0,016	0,989	0,105	0,109	1. Apr.	29	17:56	18:24		5000												
2022-03-11 17:59:00	0,020787	551,2883	2	0,417863	0,013066	0,104638	0,7	261,6	-0,989	-0,147	0,013	0,989	0,104	0,104	2. Apr.	29	17:56	18:24		10												
2022-03-11 18:00:00		548,8028	2	0,427035	0,013292	0,104175	0,6	261,8	-0,99	-0,143	0,01	0,99	0,103	0,1	3. Apr.	29	17:56	18:24														
2022-03-11 18:01:00	0,021138	546,3124	2	0,436412	0,013523	0,103608	0,4	262	-0,99	-0,14	0,008	0,99	0,102	0,096	4. Apr.	29	17:56	18:24		5												
	0,021246		2	0,445997	0,013756	0,102898	0,3	262,2	-0,991	-0,137	0,005	0,991	0,101	0,092	5. Apr.	29	17:56	18:24		0												
2022-03-11 18:03:00	0,021284	541,3172	2	0,455796	0,013994	0,101989	0,2	262,4	-0,991	-0,133	0,003	0,991	0,1	0,088	6. Apr.	29	17:56	18:24		u 11111		**********				*************						
2022-03-11 18:04:00		538,8123		0,465814			0	262,6	-0,992	-0,13	0	0,992	0,099	0,083	7. Apr.	30	17:56	18:25		22,44				*****	abban conto							
	0,019556			0,374261		0,106026	1,6	261	-0,987	-0,157	0,029	0,987	0,102	0,123	8. Apr.	29	17:56	18:24		4000	reis	TO MICHES	nao	********	D-H3C H3D H3D H3D	***************						
	0,019822			0,382472		0,105804	1,5	261,2	-0,988	-0,153	0,026	0,988	0,101	0,119	9. Apr.	29	17:56	18:24								18						
2022-03-12 17:57:00		560,4177		0,390865	400 to 100 to	0,10555	1,4	261,4	-0,988	-0,15	0,024	0,988	0,1	0,114	10. Apr.	30	17:56	18:25														
Proprieta de la companya del la companya de la comp	0,020326	557,965		0,399446		0,105254	1,2	261,6	-0,989	-0,146	0,021	0,989	0,099	0,11	11. Apr.	29	17:57	18:25														
	0,020557			0,408218			1,1	261,8	-0,99	-0,143	0,019	0,99	0,098	0,106	12. Apr.	29	17:56	18:24														
	0,020766			0,417185		0,104489	0,9	262	-0,99	-0,139	0,016	0,99	0,097	0,102	13. Apr.	30	17:56	18:25														
	0,020946			0,426352			0,8	262,2	-0,991	-0,136	0,013	0,991	0,096	0,098	14. Apr.	29	17:57	18:25														
		548,1052		0,435724			0,6	262,4	-0,991	-0,132	0,011	0,991	0,095	0,093	15. Apr.	29	17:56	18:24														
	0,021162			0,445304		0,102562	0,5	262,6	-0,992	-0,129	0,008	0,992	0,093	0,089	16. Apr.	30	17:56	18:25														
	0,021158			0,455098		0,101526	0,3	262,8	-0,992	-0,125	0,006	0,992	0,092	0,085	17. Apr.	29	17:57	18:25														
	0,021028	540,66	2		0,014263		0,2	263	-0,993	-0,122	0,003	0,993	0,091	0,081	18. Apr.	30	17:57	18:26														
	0,020706			0,475345			0	263,2	-0,993	-0,119	0,001	0,993	0,09	0,077	19. Apr.	30	17:56	18:25														
2022-03-13 17:54:00		571,7732		0,365578			2	261,2	-0,988	-0,153	0,034	0,988	0,095	0,124	20. Apr.	29	17:57	18:25														
	0,019642			0,373604			1,8	261,4	-0,988	-0,149	0,032	0,988	0,094	0,12	21. Apr.	30	17:57	18:26														
		566,9374		0,381809			1,7	261,6	-0,989	Information	0,029	eference 20	220520,093	0,116 DJ   DIEKO Jaco	22. Apr.	SmbH Copy	17:57	18:26	out written nocti	e prohibited												
2022-03-13 17:57:00	0,020162	564,5121	2	0,390197	0,012493	0,105464	1,5	261,8	-0,989	-0,142	0,027	0,989	0,092	0,112	23. Apr.	30	17:57	18:26														